

Diferencijalna geometrija krivih i površi u trodimenzionalnom euklidskom prostoru

Vedad Pasic

Tuzla, 2017

Differential Geometry of Curves and Surfaces in Three-dimensional Euclidean Space

This manuscript, titled Differential Geometry of Curves and Surfaces in Three-dimensional Euclidean Space, is intended for undergraduate students of mathematics and other sciences with the need of use of Euclidean differential geometry. We deal with the differential geometry of curves and surfaces in three dimensions, covering all the main definitions, ideas and concepts needed for successful understanding and further application of this fundamental branch of mathematics. Many concrete examples with solutions are given with illustrations.

Diferencijalna geometrija krivih i površi u tro-dimenzionalnom euklidskom prostoru

Ova knjiga namijenjena je dodiplomskim studentima matematike i drugih nauka sa potrebom upotrebe euklidske diferencijalne geometrije. Upoznat ćemo se sa diferencijalnom geometrijom krivih i površi u tri dimenzije, pokrivajući sve glavne definicije, ideje i koncepte potrebne za razumijevanje i uspješnu dalju primjenu ove fundamentalne grane matematike. Dati su mnogi konkretni problemi sa rješenjima i mnoštvom ilustracija.

**SVA PRAVA ZADRŽANA. SVAKO OBJAVLJIVANJE, ŠTAMPANJE ILI
UMNOŽAVANJE ZAHTJEVA ODOBRENJE AUTORA**

Diferencijalna geometrija na Univerzitetu u Tuzli

Predmet: Diferencijalna geometrija

Nastavnik: Vedad Pašić

Semestar: VI (ljetni semestar III godine)

ECTS: 6

Kabinet: PMF 313

Email: vedad.pasic@untz.ba

Web: <http://www.pmf.untz.ba/vedad/nastava.html>

Facebook: Grupa "Diferencijalna geometrija - Univerzitet u Tuzli"

Organizacija

- 3h predavanja (srijeda 12-15) i 2h vježbi (petak 10-12).
- Sedmične problemske zadaće diskutovane na vježbama...
- ...rad na zadaći je predispitna obaveza i nosi 15 % ukupne ocjene.
- Predispitne obaveze - test 1 (krive - 20%), test 2 (površi - 20%) i zadaće i aktivnost (15%).
- Finalni ispit - 45%.



Sadržaj

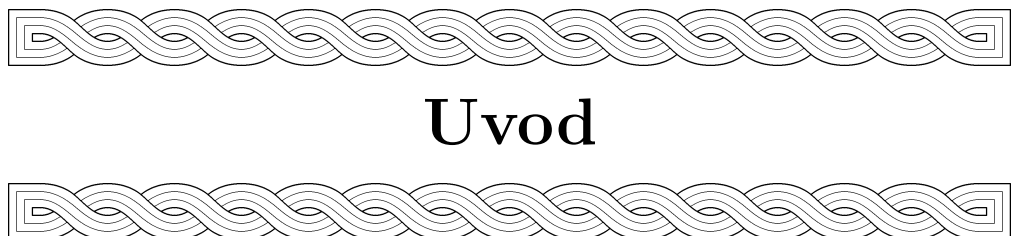


1	Uvod	1
2	Diferencijalna geometrija prostornih krivih	7
2.1	Analitička reprezentacija	8
2.1.1	Implicitna forma krive	13
2.2	Dužina luka krive	14
2.3	Stripovi i oskulatorna ravan	14
2.4	Krivina i torzija	15
2.4.1	Krivina	15
2.4.2	Frenet–Serret principalni okvir	15
2.4.3	Torzija	15
2.5	Frenet-Serret jednačine	17
2.5.1	Heliksi	19
2.6	Prirodne jednačine i fundamentalna teorema prostornih krivih	19
2.7	Okvirne krive	19
2.7.1	Paralelna normalna polja i paralelni okviri	21
2.7.2	Frenetovi okviri	21
3	Diferencijalna geometrija površi	23
3.1	Analitička reprezentacija površi	24
3.1.1	Implicitna forma površi	28
3.2	Krive na površima	32

3.3	Prva fundamentalna forma	32
3.3.1	Normala, tangentna ravan	32
3.3.2	Gaussovo preslikavanje	32
3.4	Linijske i razvojne površi	33
3.5	Druga fundamentalna forma	34
3.5.1	Meusnierova teorma	34
3.6	Weingartenov tenzor	35
3.6.1	Krivine na površi	36
3.7	Eulerov teorem	36
3.8	Minimalne površi	37
4	Fundamentalne jednačine površi	39
4.1	Kovarijantni izvod i jednačine Gauss – Weingartena	39
4.2	Gaussova Theorema egregium i jednačine Codazzija	42
4.2.1	Primjene jednačina Gaussa i Codazzija	43
4.2.2	Totalno umbilične površi	43
4.3	Fundamentalna teorema teorije površi	43
5	Geometrija na površi	45
5.1	Geodezije	46
A	Diferencijalni račun realnih funkcija - predznanje	47
B	Dužina luka - predznanje	51
C	Krivoljnijski integral prve vrste - predznanje	53
	Bibliografija	55

POGLAVLJE 1

Uvod



Osnovna misija ove knjige i predmeta kojem je namijenjena je proučavanje geometrije krivih i površi koristeći se metodama diferencijalnog računa (primarno izvodima i integralima), odakle i dolazi naziv “*diferencijalna geometrija*”. U našem izučavanju geometrije krivih i površi, bit ćeemo zainteresovani samo za one osobine istih koje su nezavisne od njihove pozicije u prostoru, to jest za one osobine koje su invarijantne pod pomjeranjima euklidskog 3-prostora, kao što su translacije i rotacije. U tu svrhu jako mnogo direktnе primjene u diferencijalnoj geometriji ima i linearna algebra.

Ova knjiga treba da čitaoca pripremi za ozbiljnije teme iz diferencijalne geometrije, uvodeći sve osnovne koncepte ove matematičke oblasti za krive i površi u trodimenzionalnom euklidskom prostoru.

Već duži niz godina vodim se idejom da treba napisati modernu knjigu iz diferencijalne geometrije na maternjem jeziku, jer takvog udžbenika jednostavno na žalost nema. Nije realistično očekivati od studenta dodiplomskog studija da izučava ovu tematiku koristeći se pregrštom različitih njiga, posebno ne na stranim jezicima.

Ova knjiga je pokušaj da se taj problem prenosti i da studenti dodiplomskog studija matematike, ali i drugih studija kojima je ova tematika interesantna, mogu diferencijalnu geometriju izučavati na kvalitetan, moderan i ugodan način.

Riječ ‘geometrija’ dolazi od grčkog $\gamma\epsilon\omega\mu\epsilon\tau\rho\acute{\iota}\alpha$ i složena je riječ od “ $\gamma\tilde{\eta}$ ” = “geo” - Zemlja i “ $\mu\epsilon\tau\rho\acute{\omega}\nu$ ” = “metron” - mjeriti. Stoga je “geometrija” potekla od nauke mjerenja zemlje - naprimjer iz potrebe mjerenja površine poljoprivrednih polja.

Najstariji zabilježeni počeci geometrije se mogu naći u drevnoj Mesopotamiji

i Egiptu u drugom milenijumu prije nove ere. Rana geometrija je bila skup empirički otkrivenih principa koji su se ticali dužina, uglova, površina i zapremina, koje su se razvile kako bi mogle biti primijenjene u geodetskim mjerjenjima, gradnjama, astronomiji i raznim zanatima.

Najraniji poznati tesktovi o geometriji su egipatski Rhindov matematički papirus (2000-1800 pne) i Moskovski papirus (1890 pne), te babilonske glinene tablice, kao što je Plimpton 322 tablica (1900 pne). Naprimjer, Moskovski papirus daje formulu za izračunavanje zapremine zarubljene piramide (*frustum*), jer ko o čemu, Egipćani o piramidama.

Stari Grci su ovu ‘primjenjenu nauku’ pretvorili u teorijski matematičku granu, proučavajući geometrijske objekte u apstraktnom smislu (Euklidovi “Elementi” su najpoznatiji primjer prvog udžbenika iz ove oblasti, a koristio se u učionicama sve do prošlog vijeka).

Diferencijalna geometrija razvila se mnogo kasnije, to jest nakon što su Newton i Leibnitz razvili diferencijalni i integralni račun, u ranom 18-om vijeku: tada je bilo moguće proučavati komplikiranije geometrijske objekte, kao što na primjer su proizvoljno zakrivljene “krive” i “površi” u 3-prostoru.

Dosta ovog predmeta će biti posvećeno opisivanju “zakrivljenosti” objekata (krivih i površi) u prostoru, ili generalnije, njihovom “obliku”.

O ‘krivoj’ se može misliti kao o obliku koji bi poprimila savijena žica u prostoru (ili na ravni); podjednako, možemo o njoj misliti kao o tragu koji ostavlja čestica koja se kreće u prostoru. Jednostavniji i već viđeni primjeri su prava linija ili kružnica u prostoru (ili na ravni).

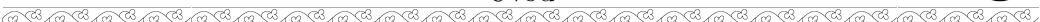
O “površi” se može misliti kao o sapunici ili mjehuriću sapuna ili površini tijela na Zemlji. Jednostavan primjer je ravan ili sfera u prostoru.

Ove primitivne pojmove “krive” i “površi” ćemo preciznije definisati kad za to dođe vrijeme.

Primjer 1.1. Posmatrajmo elipsu: $E = \left\{ (x, y) \in \mathbb{R}^2 \mid \left(\frac{x}{a}\right)^2 + \left(\frac{y}{b}\right)^2 = 1 \right\}$. Elipsa je data u *implicitnoj formi*, to jest pomoću jednačine. Možemo li je napisati u *parametarskoj formi*, to jest u formi

$$E = \{\gamma(t) \mid t \in I\},$$

gdje je I neki interval? Prije svega, možemo je predstaviti *kao graf*: $E \supset \{(x, \pm b \sqrt{1 - (\frac{x}{a})^2}) \mid -a < x < a\}$ — ali na ovaj način ne dobijemo cijelu elipsu (riješite za y da biste dobili preostale tačke; primijetite da ne možemo imati $x = \pm a$ bez gubitka diferencijabilnosti).



U parametarskoj formi: elipsu je data sa $E = \{(a \cos t, b \sin t) \mid t \in \mathbb{R}\}$. Međutim, na ovaj način pokrivamo elipsu beskonačno mnogo puta. Primijetite da $\gamma' \neq 0$ svugdje, zbog osobina trigonometrijskih funkcija. \star

Primjedba 1.1. Teorema implicitnog preslikavanja (vidi Dodatak, teorem A.4) garantira da svaka kriva ili površ data u implicitnoj formi može, pod određenim prepostavkama, biti napisana u parametarskoj formi (i obratno!). Teorema implicitnog preslikavanja daje nam samo teorijski alat – obično nije praktično da je se koristi kako bi se stvarno *našla* parametrizacija krive ili površi. Međutim, ona nam daje vrijedan kriterij za kada (par) jednačina opisuje površ (krivu): to bi trebao biti nivo skup *submerzije* $\mathbb{R}^3 \rightarrow \mathbb{R}$ (to jest $\mathbb{R}^2 \rightarrow \mathbb{R}$). \star

Primjedba 1.2. Nivo skup diferencijabilne funkcije $f : \mathbb{R}^n \rightarrow \mathbb{R}$ koji odgovara vrijednosti $c \in \mathbb{R}$ je skup tačaka $\{x \in \mathbb{R}^n \mid f(x) = c\}$. \star

Primjer 1.2. Nivo skup funkcije $f(x, y, z) = x^2 + y^2 + z^2$ vrijednosti c je sfera $x^2 + y^2 + z^2 = c$ sa centrom u $(0, 0, 0)$ i radijusom \sqrt{c} . \star

Diferencijalna geometrija ima niz primjena u prirodnim naukama, a najznačajnije su primjene u fizici, naprimjer kada posmatramo krivu kao trag koji ostavlja čestica koja se kreće kroz prostor.

Diferencijalna geometrija je jezik Einsteinove generalne teorije relativnosti i cijeli svemir je iskazan i objašnjen konceptima i metodama diferencijalne geometrije. Razumijevanje koncepta zakrivljenosti je ključno u izračunavanju pozicija satelita u orbiti, a diferencijalne geometrija se koristi i u izučavanju gravitacionih sočiva i crnih rupa. Diferencijalne forme, koncept izrastao iz ove nauke, koriste se kako bi se opisao elektromagnetizam, a imamo primjene u Lagrangeovoj mehanici i Hamiltonovoj mehanici. Geometrijsko modeliranje, što uključuje računarsku grafiku, te CAD (computer-aided geometric design) se zasnivaju na idejama iz diferencijalne geometrije. Niz drugih primjena u inženjerstvu (prilikom rješavanja problema u obradi digitalnih signala), ekonomiji (ekonometrija, vidi naprimjer [13]), računarskoj nauci, teoriji kontrole, vjerovatnoći, itd.

Ovaj udžbenik je namijenjen studentima treće godine dodiplomskog studija matematike i treba Vas pripremiti za materiju koja će se, između ostalog, raditi na predmetima četvrte godine Viša geometrija [15] i Matematičke metode u fizici [14]. Diferencijalna geometrija je u centru mog istraživačkog rada - a iskreno se nadam da će neki od vas postati moje istraživačke kolegice

i kolege. Ako vas to interesuje, pogledajte moje radeve iz ove i drugih oblasti [2, 6, 10, 11, 12, 16, 17, 18, 19, 20, 21, 22, 24].

Potrebna predznanja:

- Osnovna linearne algebra i analitička geometrija;
- (Vektorski) diferencijalni i integralni račun.

Notacija

- $u \cdot v$ - za skalarni proizvod dva vektora;
- $\|u\| = \sqrt{u \cdot u}$ - za dužinu (normu, intenzitet) vektora;
- $u \times v$ - za vektorski proizvod dva vektora;
- $d_p f$ - za Jacobijevu matricu funkcije f u tački p ;
- f_u, f_v - za parcijalne izvode funkcije $f = f(u, v)$;

⊜ Završetak dokaza.

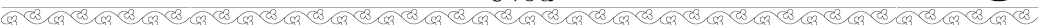
⊗ Završetak primjedbe.

☆ Završetak primjera.

✿ Završetak rješenja.

Literatura

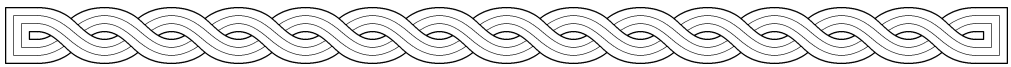
Kako bi se kompletirala ova knjiga, korišteno je jako mnogo literature, ali najvažniji udžbenici su oni klasični, kao što je Struik [28] ili Spivak [26] u kojim se može naći velika većina materijala koji pokriva ova knjiga. Dodatno, za specifičnije stvari, tako su korisni i udžbenici do Carma [5], Kuhnela [7], Valirona [30] i Sharipova [25], te rad Sya [29] o općim heliksima. Na jezicima južnih Slavena ima jako malo literature o diferencijalnoj geometriji koja je ozbiljna i/ili komprehensivna, a mogu se pogledati naprimjer Stojanović [27], Mihajlović [8], Žarinac-Frančula [32], Blažić i Bokan [3], dok je dobar resurs za diferencijalnu geometriju krivih i površi u Wolfram Mathematica Velimirović [31] kao i Abbena i drugi [1]. Više o historiji matematike, a samim tim umonogome i geometrije, možete naučiti od Radojčića [23]. Za predznanja iz matematičke analize toplo preporučujem Dedagića [4] ili bilo koju drugu kvalitetnu knjigu iz matematičke analize.



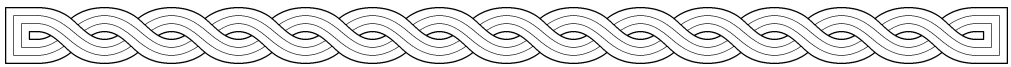
Sadržaj ukratko

- Krive (na ravni i u 3-prostoru);
- Elementarna teorija površi;
- Elementarne jednačine površi;
- Geometrija na površi.





Diferencijalna geometrija prostornih krivih



2.1	Analitička reprezentacija	8
2.1.1	Implicitna forma krive	13
2.2	Dužina luka krive	14
2.3	Stripovi i oskulatorna ravan	14
2.4	Krivina i torzija	15
2.4.1	Krivina	15
2.4.2	Frenet–Serret principalni okvir	15
2.4.3	Torzija	15
2.5	Frenet–Serret jednačine	17
2.5.1	Heliksi	19
2.6	Prirodne jednačine i fundamentalna teorema prostornih krivih	19
2.7	Okvirne krive	19
2.7.1	Paralelna normalna polja i paralelni okviri . . .	21
2.7.2	Frenetovi okviri	21

U ovom poglavlju ćemo koncept parametrizovane, geometrijske i implicitne *krive* u trodimenzionalnom euklidskom prostoru, te pridružene geometrijske objekte, dužinu luka, tangentni, normalni i binormalni vektor, te ćemo diskutovati o geometrijskim veličinama svake krive iz kojih možemo povratiti originalnu krivu - krivinu i torziju.

2.1 Analitička reprezentacija

Definicija 2.1: Kriva

Kriva je slika jednog glatkog (ili moguće nekoliko glatkih) preslikavanja

$$\gamma : I \rightarrow \mathbb{R}^3,$$

gdje je I realni interval. Kriva je *regularna* ako $\gamma'(t) \neq 0, \forall t \in I$.

Primjedba 2.1. Pod glatkim preslikavanjem dakako podrazumjevamo preslikavanje klase C^k za neko $k \in \mathbb{N}$. Nadalje prepostavljamo da su sve krive

$$\gamma : I \rightarrow \mathbb{R}^3$$

najmanje klase C^3 ako se ne naglasi drugačije. ★

Primjedba 2.2. Uvijek ćemo prepostavljati da su naše krive regularne, ukoliko nije navedeno drugačije. Ovaj dogovor osigurava da sve naše krive imaju dobro definisane tangentne linije:

$$u \mapsto \gamma(t) + u \gamma'(t). \quad (2.1)$$



Definicija 2.2: Koordinate krive

Komponente x, y i z tačke $(x, y, z) \in \mathbb{R}^3$ ćemo zvati njenim *koordinatama*.

Kada je

$$t \mapsto \gamma(t) = (x(t), y(t), z(t))$$

(regularna) kriva, onda ćemo funkcije $x(t), y(t)$, i $z(t)$ zvati *koordinatne funkcije*.

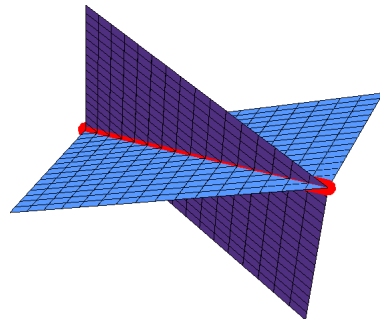
Primjer 2.1 (Prava linija). Svaka prava $t \mapsto \gamma(t)$ može biti parametrirovana kao

$$x(t) = a_1 + tb_1, \quad y(t) = a_2 + tb_2, \quad z(t) = a_3 + tb_3, \quad t \in \mathbb{R},$$

gdje su a_i, b_i konstante i barem jedno $b_i \neq 0$. Ova kriva je stoga jasno regularna, jer je stoga $\gamma'(t) = (b_1, b_2, b_3) \neq 0$ po prepostavci. Prepostavimo, bez gubitka općenitosti, da je $b_1 \neq 0$; onda možemo eliminisati parametar t i napisati krivu kao graf preko cijele x -ose:

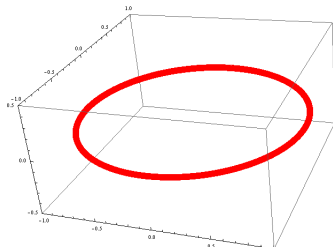
$$\begin{aligned} y(x) &= a_2 + \frac{b_2}{b_1}(x - a_1), \\ z(x) &= a_3 + \frac{b_3}{b_1}(x - a_1), \quad x \in \mathbb{R} \end{aligned}$$

Šta predstavljaju ove jednačine? ☆



Sli. 2.1: Prava presjek ravni

Primjer 2.2 (Kružnica). Kružnica u prostoru, to jest u ravni $z = 0$ centrirana u koordinatnom početku $t \mapsto \gamma(t)$ je data sa :



Sli. 2.2: Kružnica

$$\begin{aligned} x &= r \cos t, \\ y &= r \sin t, \\ z &= 0, \quad t \in [0, 2\pi]. \end{aligned}$$

Ova kriva je *planarna* krvna, to jest nalazi se u ravni. Ovo je očito regularna kriva, jer je

$$\gamma'(t) = r(-\sin t, \cos t, 0) \neq 0, \quad \forall t.$$

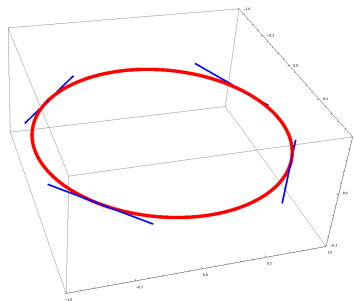
Stoga, ako primjenimo jednačinu (2.1) u ovom slučaju, imamo da je tangentna linija u proizvoljnoj tački $\xi \in \mathbb{R}$ na kružnicu data sa

$$t \mapsto r(\cos \xi - t \sin \xi, \sin \xi + t \cos \xi, 0).$$

Stoga je tangentna na jediničnu kružnicu u xOy ravni centriranoj u koordinatnom početku u tački $t = \frac{\pi}{4}$, to jest $\left(\frac{1}{\sqrt{2}}, \frac{1}{\sqrt{2}}, 0\right)$, data sa

$$t \mapsto \frac{1}{\sqrt{2}}(1 - t, 1 + t, 0).$$

Vidi Sliku 2.3 za više grafičkih primjera. ☆



Slika 2.3: Tangente na jediničnu kružnicu u tačkama $t = 1, 2, 4, 5.5$

Primjedba 2.3. Moguće je da dvije različite krive imaju isti kodomen. Ako se vratimo primjeru 2.2 i posmatrajmo novu krivu $t \mapsto \gamma_1(t)$:

$$\gamma_1(t) = (\cos t, \sin t, 0), \quad t \in [0, 4\pi].$$

Slika ove krive je ponovo očito jedinična kružnica koja leži u ravni $z = 0$ centrirana u koordinatnom početku, ali nije injekcija za razliku od krive iz primjera 2.2. \star

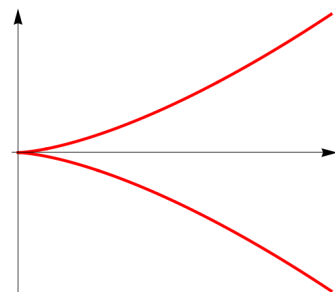
Ako kriva nije regularna, onda se naziva *irregularnom*. Takva je naprimjer

$$t \mapsto \gamma(t), \quad \gamma(t) = (t^2, t^3, 0), t \in \mathbb{R}.$$

Očito je da je

$$\gamma'(t) = (2t, 3t^2, 0)$$

i stoga je $\gamma'(t)$ jednako nula vektoru za $t = 0$.



Sl. 2.4: Iregularna kriva

Stoga kriva γ nije regularna, vidi Sliku 2.4.

Primjer 2.3 (Kružni heliks). Ova vrlo posebna kriva se definiše pomoću jednačina

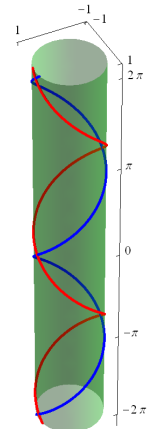
$$\begin{aligned} x &= r \cos t, \\ y &= r \sin t, \\ z &= h t, \end{aligned}$$

gdje su r i h realni brojevi različiti od nule, a $t \in \mathbb{R}$ parametar.

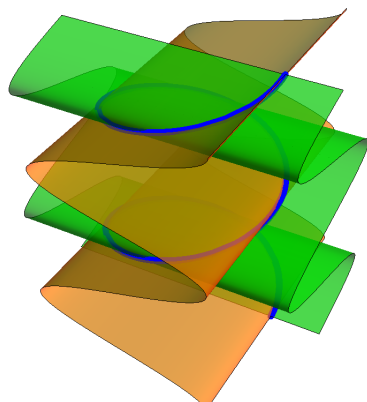
Kao što ćemo vidjeti, ova kriva će se iznova pojavljivati u primjerima i primjenama, te ćemo posvetiti cijelu podsekciju klasi helikoidnih krivih, vidi sekciju 2.5.1.

Ova kriva leži na cilindru $x^2 + y^2 = r^2$, te se na istom *uvija* na način da kada se parametar t poveća za 2π , koordinate x i y se vrati na istu vrijednost, dok se koordinata z poveća za $2\pi h$, što nam daje vertikalnu udaljenost heliksovih zavoja, to jest *nagib* heliksa.

Kada je konstanta h pozitivna, tada imamo *desni* kružni heliks (crvena kriva na slici 2.5), a kada je konstanta h negativna, tada imamo *lijevi* kružni heliks (plava kriva na slici 2.5).



Sl. 2.5: Heliks



Sl. 2.6: Heliks implicitno

Ovakva podjela helika je nezavisna od izbora parametara ili parametrizacija - ona je intrinzična osobina kružnih heliksa. Lijevi heliks se nikad ne može preslikati na desni i obratno, što zna svako ko je ikad radio sa vijcima ili konopcima.

Ako je $h \neq 0$, onda heliks možemo napisati kao graf preko njegove ose (z -ose):

$$\begin{aligned} x &= r \cos \frac{z}{h}, \\ y &= r \sin \frac{z}{h}, z \in \mathbb{R}, \end{aligned}$$

vidi sliku 2.6 kako presjek površi $x = \cos z$ i $y = \sin z$ daju kružni heliks radijusa 1 i nagiba 2π . \star

Definicija 2.3: Reparametrizacija krive

Reparametrizacija krive $(a, b) \ni t \mapsto \gamma(t) \in \mathbb{R}^3$ je nova parametrizirana kriva

$$\tilde{\gamma}(s) = \gamma(u(s)), \quad (2.2)$$

gdje je $u : (\tilde{a}, \tilde{b}) \mapsto (a, b)$ sirjekcija i $u' \neq 0$.

Uslov $u'(s) \neq 0 \forall s$ osigurava da su reparametrizacije regularnih krivih

regularne, što proizilazi iz lančanog pravila

$$\tilde{\gamma}'(s) = u'(s) \cdot \gamma'(u(s)) \neq 0. \quad (2.3)$$

Preslikavanje $u : (\tilde{a}, \tilde{b}) \mapsto (a, b)$ iz Definicije 2.3 je *difeomorfizam*, vidi Definiciju A.5.

Definicija 2.4: Ekvivalentnost krivih

Za dvije krive α i β kažemo da su *ekvivalentne* i pišemo $\alpha \equiv \beta$ ukoliko postoji difeomorfizam $u : (\tilde{a}, \tilde{b}) \mapsto (a, b)$ klase C^k takav da je $\beta = \alpha \circ u$.

Uslov regularnosti (2.3) implicira da je u' stalnog znaka, a za reparametrizaciju kažemo da čuva orijentaciju, odnosno da je *pozitivna reparametrizacija* ukoliko je $u' > 0$, a da je *negativna reparametrizacija* ukoliko je $u' < 0$.

Primjer 2.4. Reparametrizirajmo krivu

$$t \mapsto \gamma(t), \quad \gamma(t) := (e^t \cos 2t, 2, e^t \sin 2t), \quad t \in (-\infty, \infty).$$

Posmatrajmo funkciju

$$u : (0, \infty) \mapsto (-\infty, \infty), \quad u(s) = \ln\left(\frac{s}{\sqrt{5}}\right).$$

Zamjenom $t = u(x)$ u originalnoj parametrizaciji, dobijamo

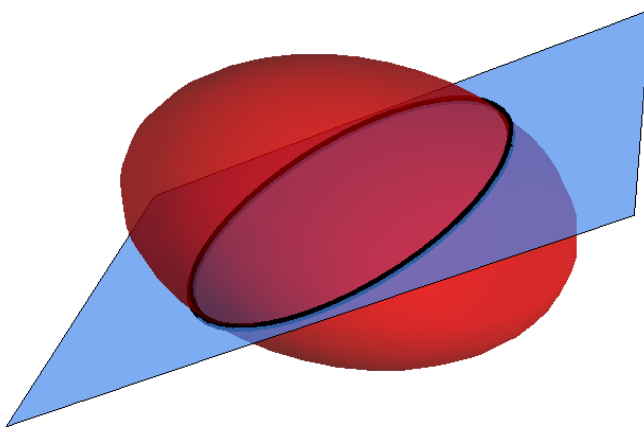
$$\tilde{\gamma}(s) = \left(\frac{s}{\sqrt{5}} \cos \ln \frac{s^2}{5}, 2, \frac{s}{\sqrt{5}} \sin \ln \frac{s^2}{5} \right)$$

Ovo se naravno može činiti nepotrebним, ali ima velike prednosti, kako ćemo vrlo brzo vidjeti! \star

Definicija 2.5: Geometrijska kriva

Klasa ekvivalencije $[\gamma]$ je *geometrijska* (neparametrizovana) kriva.

Primjedba 2.4. Definicija 2.5 nam omogućava distinkciju između *krive* i *parametrizacije krive*. Svaka (geometrijska) kriva može imati beskonačno mnogo parametrizacija, različitih svojstava. Lokalno posmatrano, krive su ekvivalentne ukoliko imaju iste skupove slika. \star



Slika 2.7: Implicitno zadata kriva iz vježbe 2.2

2.1.1 Implicitna forma krive

U punoj verziji teksta.

Vježbe

Vježba 2.1. Naći tangentu na kružni heliks $t \mapsto (\cos t, \sin t, t)$ u tački $t = \frac{\pi}{3}$ i napisati je u kanonskom obliku.

Vježba 2.2. Posmatrajmo krivu datu implicitno sa

$$4x^2 + 9y^2 + 36z^2 = 36, \quad \sqrt{\frac{3}{5}}z = \frac{x}{3},$$

Provjerite regularnost krive sa slike 2.2 i parametrizirajte je.

Vježba 2.3. Pokažite da su konični presjeci regularne krive i nađite njihove parametrizacije.

- (a) $x^2 + y^2 = z^2, x + z = \sqrt{2};$
- (b) $x^2 + y^2 = z^2, x + \sqrt{3}z = 2;$
- (c) $x^2 + y^2 = z^2, \sqrt{3}x + z = 2.$

Vježba 2.4. Dokažite teoremu implicitnog preslikavanja pomoću teoreme inverznog preslikavanja, koristeći se našom notacijom.

Vježba 2.5. Dokažite Picard-Lindelöfov teoremu: Neka su I otvoreni potskup \mathbb{R} i U otvoreni potskup \mathbb{R}^n i neka je $I \times U \ni (x, y) \mapsto f(x, y) \in \mathbb{R}^n$ neprekidna i Lipschitz neprekidna po y i $(x_0, y_0) \in I \times U$; onda *problem početne vrijednosti*

$$y'(x) = f(x, y(x)), \quad y(x_0) = y_0$$

ima jedinstveno lokalno rješenje ako je f diferencijabilna funkcija.

2.2 Dužina luka krive

U punoj verziji teksta.

Vježbe

Vježba 2.6. Pokazati da je dužina luka invarijantna pod reparametrizacijom krive.

Vježba 2.7. Izračunajte dužinu luka i reparametrizirajte, ako je moguće, dužinom luka krive $t \mapsto \gamma_i$:

$$(a) \quad \gamma_1(t) = \left(\frac{3\sqrt{3}}{2\sqrt{2}} \cos(t), 2 \sin(t), \frac{\sqrt{5}}{2\sqrt{2}} \cos(t) \right)$$

$$(b) \quad \gamma_2(t) = \frac{\sqrt{2}}{2} \left(1 - \frac{t^2}{2}, \sqrt{2}t, 1 + \frac{t^2}{2} \right).$$

$$(c) \quad \gamma_3(t) = (1 - \cosh(t), \sinh(t), t).$$

$$(d) \quad \gamma_4(t) = e^t (\cos t, \sin t, 0)$$

$$(e) \quad \gamma_5(t) = (e^t \cos 2t, 2, e^t \sin 2t)$$

2.3 Stripovi i oskulatorna ravan

U punoj verziji teksta.

Vježbe

Vježba 2.8. Potvrdite detaljno da je $t \mapsto \gamma(t)$ prava linija ako su $\gamma''(t)$ i $\gamma'(t)$ linearno zavisne za sva t .

Vježba 2.9. Izračunati oskulatornu ravan na kružni heliks u proizvoljnoj tački.

Vježba 2.10 (Bonus). (a) Iskoristiti Wolfram Mathematica, kako biste napravili funkciju koja računa jednačinu oskulatorne ravni $paramOskRavan[\gamma_, t_, t0_]$ na krivoj γ parametra t u tački $t0$ u parametarskom obliku.

(b) Napraviti animaciju oskulatorne ravni na kružnom heliksu, kao što je to urađeno na slici na predmetnoj stranici.

2.4 Krivina i torzija

U punoj verziji teksta.

2.4.1 Krivina

U punoj verziji teksta.

2.4.2 Frenet–Serret principalni okvir

U punoj verziji teksta.

2.4.3 Torzija

U punoj verziji teksta.

Vježbe

Vježba 2.11. Po definiciji izračunati krivinu i torziju krivih $t \mapsto \gamma_i(t)$:

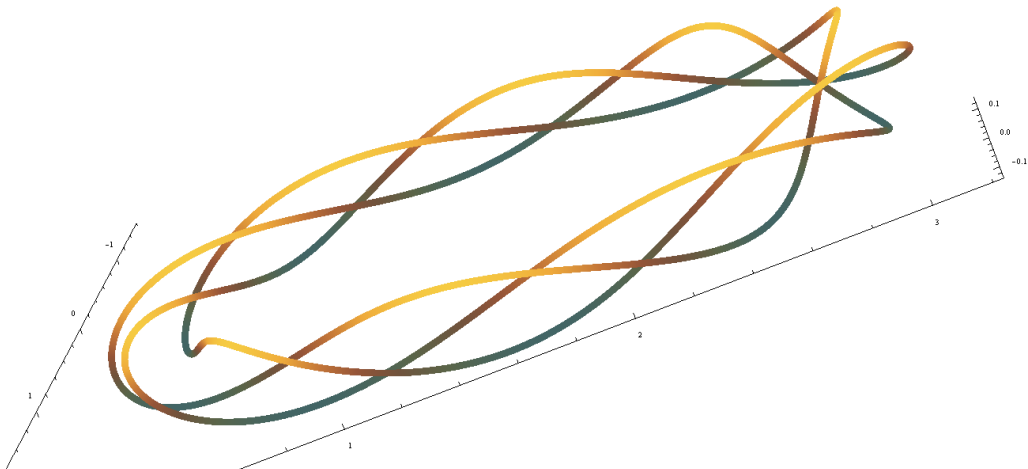
- $\gamma_1 = (e^t \cos t, e^t \sin t, 0);$
- $\gamma_2 = (t, \cosh t, 1);$
- $\gamma_3 = (\cos^2 t, \sin^2 t, \sin^2 t + 1);$
- $\gamma_4 = \left(\frac{4}{5} \cos t, 1 + \sin t, 2 - \frac{3}{5} \cos t\right);$

Vježba 2.12. Uvjerite se da se oskulatorna kružnica dužinom luka parametrizovane krive γ u tački $\gamma(s_0)$ (koristite $s_0 = 0$ kako bi vam bilo lakše) doista može parametrizovati (dužinom luka) tako da se Taylorovi polinomi drugog reda zaista poklapaju.

Vježba 2.13. Neka je $t \mapsto \gamma(t)$ parametrizovana kriva tako da $T'(t) \neq 0$, $\forall t$. Pokazati da možemo izabrati $N = \frac{T'}{|T'|}$ i da je, sa ovakvim izborom N ,

$$\kappa = \frac{|\gamma' \times \gamma''|}{|\gamma'|^3}, \quad \tau = \frac{|\gamma', \gamma'', \gamma'''|}{|\gamma' \times \gamma''|^2}.$$

Vježba 2.14. Izračunati krivinu i torziju krive $t \mapsto \gamma(t)$ definisane sa $\gamma(t) = \left(t, \frac{1+t}{t}, \frac{1-t^2}{t}\right)$ koristeći se formulama. Dajte geometrijski argument zašto τ uzima vrijednost koju uzima. Pokušajte izračunati krivinu po definiciji.



Slika 2.8: Kriva iz vježbe 2.15

Vježba 2.15. Izračunati krivinu i torziju krive $u \mapsto \gamma(u)$ čije su parametarske funkcije date sa

$$\begin{aligned}x(u) &= -\sqrt{2} \sin \frac{3u}{2} + \frac{2\sqrt{2}}{21} \sin \frac{7u}{2} - \frac{\sqrt{2}}{39} \sin \frac{13u}{2}, \\y(u) &= \frac{102\sqrt{2}}{91} - \sqrt{2} \cos \frac{3u}{2} - \frac{2\sqrt{2}}{21} \cos \frac{7u}{2} - \frac{\sqrt{2}}{39} \cos \frac{13u}{2}, \\z(u) &= \frac{2}{15} \sin 5u.\end{aligned}$$

Šta je to posebno u ovom primjeru, datom na slici 2.8?

Vježba 2.16. Neka je sada $t \mapsto \gamma(t)$ regularna parametrizovana kriva. Pokažite da krivina zadovoljava $\kappa^2 = |\gamma' \times \gamma''|^2$, kada je $N = \frac{T'}{|T'|}$.

Neka je sada $s \mapsto \tilde{\gamma}(s) = \gamma(t(s))$ reparametrizacija krive γ (ne obavezno dužinom luka). Pokažite da je, za sva s ,

$$\frac{|\tilde{\gamma}' \times \tilde{\gamma}''|^2}{|\tilde{\gamma}'|^6}(s) = \frac{|\gamma' \times \gamma''|^2}{|\gamma'|^6}(s)$$

Zaključite da je, za regularnu parametriziranu krivu $t \mapsto \gamma(t)$,

$$\kappa^2 = \frac{|\gamma' \times \gamma''|^2}{|\gamma'|^6}.$$

Vježba 2.17 (Bonus). (a) Napraviti funkcije *krivina*[g , t] i *torzija*[g , t] u Wolfram Mathematici koje računaju krivinu i torziju date proizvoljno parametrizovane krive g parametra t .

(b) Napravite animaciju trobrida (T, N, B) na proizvoljnoj krivoj. Opcionalno, prikažite i vrijednosti krivine i torzije prilikom animacije.

2.5 Frenet-Serret jednačine

U punoj verziji teksta.

Vježbe

Vježba 2.18. Popunite ‘praznine’ u dokazu Frenetovih jednačina te pokažite da doista jeste

$$F' = F \begin{pmatrix} 0 & -\kappa & 0 \\ \kappa & 0 & -\tau \\ 0 & \tau & 0 \end{pmatrix} \Leftrightarrow \begin{cases} T' = \kappa N \\ N' = -\kappa T + \tau B \\ B' = -\tau N \end{cases} .$$

Vježba 2.19. Neka $F = (T, N, B)$ označava principalni okvir dužinom luka parametrizovane krive $s \mapsto \gamma(s)$ i neka su $\kappa(s)$ i $\tau(s)$ krivina i torzija krive γ . Definišimo “Darboux-ovo vektorsko polje”

$$\delta := N \times N' = \tau(s) T + \kappa(s) B.$$

Pokazati da su Frenetove jednačine ekvivalentne jednačinama

$$T' = \delta \times T, \quad N' = \delta \times N, \quad B' = \delta \times B.$$

Vježba 2.20. Pokazati da kriva $s \mapsto \gamma(s)$ uzima vrijednosti na sfери ako i samo ako njene normalne ravni prolaze kroz (fiksnu) tačku $c \in \mathbb{R}^3$ (centar sfere).

Vježba 2.21. (a) Neka je $t \mapsto \beta(t) \in S^2 \subset \mathbb{R}^3$ regularna kriva.

Definišimo krivu

$$t \mapsto \gamma(t) := \int_{t_0}^t \beta(s) \times \beta'(s) ds. \quad (\dagger)$$

Pokazati da γ ima konstantnu torziju.

(b) Sada prepostavimo da kriva $s \mapsto \gamma(s)$ (parametrizovana dužinom luka) ima konstantnu torziju $\tau \equiv 1$. Pokazati da je γ oblika (\dagger) sa odgovarajućom krivom $s \mapsto \beta(s) \in S^2$.

Vježba 2.22. Neka je $s \mapsto \kappa(s)$ data realna funkcija. Definišimo funkciju $\varphi(s) := \int_{s_0}^s \kappa(s) ds$. Provjerite da

$$\gamma(s) := \left(\int_{s_0}^s \cos \varphi(s) ds, \int_{s_0}^s \sin \varphi(s) ds, 0 \right)$$

definiše dužinom luka parametrizovanu planarnu krivu sa krivinom $\kappa(s)$.

2.5.1 Heliksi

U punoj verziji teksta.

Generisanje općeg heliksa

U punoj verziji teksta.

Vježbe

Vježba 2.23. Da li je kružni heliks opći heliks? Zašto?

Vježba 2.24. Pokažite da je klasa krivih $t \mapsto \gamma(t)$ data sa

$$\gamma(t) = \left(\frac{bt^n}{n}, \sqrt{2b} \frac{t^{n+1}}{n+1}, \frac{t^{n+2}}{n+2} \right),$$

gdje je $b > 0$ realna konstanta, a $n \in \mathbb{N}$, klasa općih heliksa.

Vježba 2.25. Dokažite da je kriva $t \mapsto \gamma(t)$, vidi sliku 2.9 data sa

$$\gamma(t) = \left(\frac{4}{5} \cos 2t - \frac{1}{5} \cos 8t, \frac{4}{5} \sin 2t - \frac{1}{5} \sin 8t, \frac{\cos t}{3} \right),$$

gdje je $\pi/3 < t < 2\pi/3$, opći heliks.

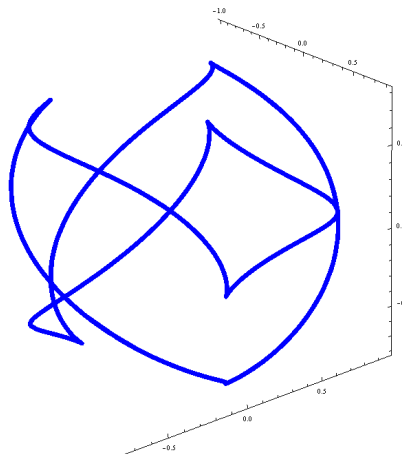
Vježba 2.26 (Bonus). Kreirajte u Wolfram Mathematica funkciju koja provjerava da li je data kriva heliks, te funkciju koja iz date planarne krive generiše opći heliks.

2.6 Prirodne jednačine i fundamentalna teorema prostornih krivih

U punoj verziji teksta.

2.7 Okvirne krive

U punoj verziji teksta.



Slika 2.9: Opći heliks iz vjezbe 2.25

Vježbe

Vježba 2.27. Izvesti dokaz strukturnih jednačina za okvirne krive.

Vježba 2.28. Izvesti dokaz Fundamentalnog teorema za okvirne krive.

Vježba 2.29. Posmatrajmo krivu $t \mapsto \gamma(t)$ datu sa $\gamma(t) = (t \cos t, t \sin t, t)$.

(a) Dokažite da je kriva γ regularna i da je

$$t \mapsto N(t) = \frac{1}{\sqrt{2}}(-\cos t, -\sin t, 1)$$

jedinično normalno vektorsko polje za γ .

(b) Nađite adaptirani okvir $F = (T, N, B)$ za strip (γ, N) i izračunajte njegovu torziju τ , geodezijsku krivinu κ_g i normalnu krivinu κ_n .

Vježba 2.30. Neka γ parametrizira pravu, to jest neka je $\gamma' \times \gamma'' \equiv 0$. Neka je F bilo koji adaptirani okvir krive γ .

Pokažite da su $\kappa_n = \kappa_g = 0$. Nađite strip (γ, N) takav da je $\kappa_n = \kappa_g = 0$ i $\tau \equiv 1$.

Vježba 2.31. Neka je $F = (T, N, B)$ adaptirani okvir i neka je $\tilde{F} = FA$, gdje je

$$A = \begin{pmatrix} 1 & 0 & 0 \\ 0 & \cos \varphi & -\sin \varphi \\ 0 & \sin \varphi & \cos \varphi \end{pmatrix}$$

sa nekom funkcijom $t \mapsto \varphi(t)$.

- Uvjerite se da je \tilde{F} još jedan adaptirani okvir.
- Izračunajte kako se strukturne jednačine (to jest κ_n , κ_g i τ) mijenaju.

2.7.1 Paralelna normalna polja i paralelni okviri

U punoj verziji teksta.

Vježbe

Vježba 2.32. Nađite paralelno jedninično normalno vektorsko polje \tilde{N} za krivu γ iz vježbe 2.29. Možete ga zapisati u obliku

$$\tilde{N}(t) = \cos(\varphi(t))N(t) + \sin(\varphi(t))B(t),$$

gdje je $\varphi(t)$ funkcija po t koju trebate odrediti.

[Pomoć: $\int \frac{1}{\sqrt{t^2+2}} dt = \operatorname{arcsinh} \frac{t}{\sqrt{2}} + C$]

Potom izračunati κ_g i κ_n za paralelni strip krivine (γ, \tilde{N}) .

Vježba 2.33. Dokažite da su bilo koja dva paralelna adaptirana okvira krive $t \mapsto \gamma(t)$ povezana konstantnom rotacijom u normalnoj ravni.

Vježba 2.34. Pokažite da kriva uzima vrijednosti na sferi ako i samo ako krivine κ_g i κ_n paralelnog okvira zadovoljavaju jednačinu planarne krive.

Kako se može pročitati radijus sfere iz ove jednačine?

2.7.2 Frenetovi okviri

U punoj verziji teksta.

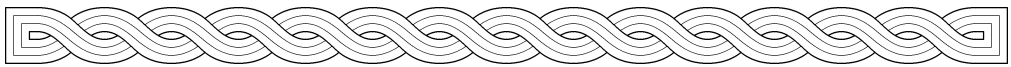
Vježbe

Vježba 2.35. Neka je kriva $t \mapsto \alpha(t)$ data sa

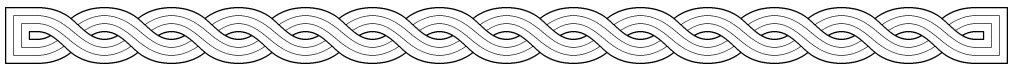
$$\alpha(t) = (t + \sin t, -t + \sin t, \sqrt{2}\cos t).$$

- (a) Nađite reparametrizaciju dužinom luka krive $s \mapsto \alpha(s)$.
- (b) Nađite Frenetov okvir $F = (T, N, B)$ krive α .
- (c) Izračunajte krivinu i torziju krive α po definiciji.
- (d) Šta možete zaključiti o krivoj α iz njene krivine i torzije i na osnovu čega?





Diferencijalna geometrija površi



3.1	Analitička reprezentacija površi	24
3.1.1	Implicitna forma površi	28
3.2	Krive na površima	32
3.3	Prva fundamentalna forma	32
3.3.1	Normala, tangentna ravan	32
3.3.2	Gaussovo preslikavanje	32
3.4	Linijske i razvojne površi	33
3.5	Druga fundamentalna forma	34
3.5.1	Meusnierova teorma	34
3.6	Weingartenov tenzor	35
3.6.1	Krivine na površi	36
3.7	Eulerov teorem	36
3.8	Minimalne površi	37

U ovom poglavlju uvest ćemo koncept parametrizovane i implicitne *površi* u trodimenzionalnom euklidskom prostoru, te pridružene geometrijske objekte, prvu i drugu fundamentalnu formu, Gaussovo preslikavanje, te opisati oblik površi pomoću različitih definicija krivina. Razmatrat ćemo i različite posebne klase površi.

3.1 Analitička reprezentacija površi

Definicija 3.1: Površ

Površ je slika jednog (ili moguće nekoliko) glatkog preslikavanja

$$\mathbf{x} : U \rightarrow \mathbb{R}^3,$$

gdje je $U \subset \mathbb{R}^2$. Površ je *regularna* ako je \mathbf{x} imerzija, to jest ako $d_{(u,v)}\mathbf{x} : \mathbb{R}^2 \rightarrow \mathbb{R}^3$ je injekcija za sva $(u, v) \in U$, vidi Definiciju A.5.

Primjedba 3.1. Površ \mathbf{x} je regularna ako i samo ako su $\mathbf{x}_u(u, v)$ i $\mathbf{x}_v(u, v)$ linearno nezavisni za sva $(u, v) \in U$, to jest ako i samo ako $\mathbf{x}_u \times \mathbf{x}_v \neq 0$. \star

Dogovor. Uvijek ćemo pretpostaviti da su naše površi regularne.

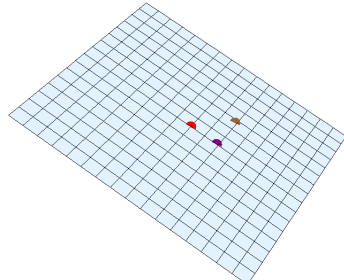
Primjer 3.1 (Ravan). Tri nekolinearne tačke $P_0, P_1, P_2 \in \mathbb{R}^3$, nalaze se na jedinstvenoj ravni, parametrizovanoj sa

$$(u, v) \mapsto P_0 + u(P_1 - P_0) + v(P_2 - P_0),$$

vidi Dodatak A. Površ je regularna jer je

$$\mathbf{x}_u \times \mathbf{x}_v = (P_1 - P_0) \times (P_2 - P_0) \neq 0,$$

jer su tačke $P_0, P_1, P_2 \in \mathbb{R}^3$ nekolinearne. \star



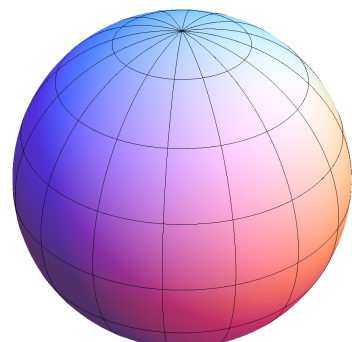
Sl. 3.1: Ravan

Primjer 3.2 (Sfera). Česta parametrizacija je data sa

$$(u, v) \mapsto (\cos u \cos v, \cos u \sin v, \sin u),$$

$u \in \left[-\frac{\pi}{2}, \frac{\pi}{2}\right], v \in [0, 2\pi]$. Međutim, imamo problem što se tiče regularnosti.

Naime, parametrizacija prestaje da bude regularna za $\cos u = 0$ i $\sin u = \pm 1$ (“sjeverni” i “južni polovi” sfere); ovaj problem je simptomatičan i ne može biti riješen: *ne postoji regularna parametrizacija cijele sfere odjednom*.



Sl. 3.2: Sfera

Stoga, treba nam nekoliko parametrizacija kako bismo pokazali da je to regularna površ (na primjer, uzmite gornju parametrizaciju i sličnu parametrizaciju koja je rotirana tako da njeni "polovi" leže na (x, y) -ravni):

$$(u, v) \mapsto (\cos u \sin v, \sin u \sin v, \cos v),$$

$$u \in [0, \pi], v \in [0, 2\pi].$$

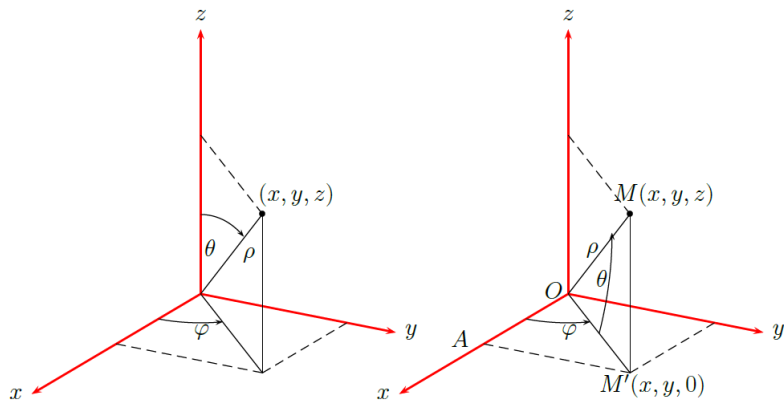


Potsjetnik na sferne koordinate

Sferni koordinatni sistem ima za ideju orientaciju na sfernoj površini. Sferu možemo podijeliti "paralelnim" kružnicama, među kojima je i ekvatorijalna, koje nazivamo paralelama i "velikim" kružnicama koje sve prolaze kroz polove sfere, koje nazivamo meridijanima.

U takvoj podjeli sfere, pokazuje se boljim opis položaja tačke u smislu koliko smo daleko (u stepenima) od nekog fiksног meridijana i koliko smo daleko (u stepenima) od neke fiksne paralele, od uobičajenih koordinata, dužine, širine i visine.

Naravno, treća bitna stvar o položaju je i udaljenost od koordinatnog početka. Postoje dva pristupa sfernim koordinatama, u zavisnosti koju paralelu biramo za fiksnu.



Slika 3.3: Dva pristupa sfernim koordinatama

Posmatrajmo sliku 3.3 desno. Uzimamo da je ρ udaljenost tačke M od koordinatnog početka, φ je udaljenost od meridijana, to jest ugao između poteza OM' , gdje je M' projekcija tačke M u Oxy ravan i pozitivnog dijela

x -ose i θ je ugao između ρ i Oxy ravni, to jest udaljenost tačke M od ekvatorijalne ravni.

Uočimo trougao $\triangle OM'M$. To je pravougli trougao, pa iz njega očitavamo

$$\cos \theta = \frac{OM'}{OM}, \quad \sin \theta = \frac{MM'}{OM},$$

odnosno

$$OM' = \rho \cos \theta, \quad MM' = z = \rho \sin \theta. \quad (3.1)$$

Iz pravouglog trougla $\triangle OAM'$ očitavamo

$$\cos \varphi = \frac{OA}{OM'}, \quad \sin \varphi = \frac{AM'}{OM'},$$

to jest

$$OM' = \frac{x}{\cos \varphi}, \quad OM' = \frac{y}{\sin \varphi}. \quad (3.2)$$

Kombinujući (3.1) i (3.2) dobijamo sferne koordinate za slučaj kada ugao θ mjerimo od ekvatorijalne ravni.

$$x = \rho \cos \varphi \cos \theta, \quad y = \rho \sin \varphi \cos \theta, \quad z = \rho \sin \theta.$$

Prirodne granice su

$$0 \leq \rho < +\infty, \quad 0 \leq \varphi \leq 2\pi, \quad -\frac{\pi}{2} \leq \theta \leq \frac{\pi}{2},$$

jer su od "ekvatora" najudaljeniji polovi i to sjeverni 90° , a južni -90° .

Uvodeći sferski koordinatni sistem, mjereci ugao θ od sjevernog pola (Slika 3.3, lijevo), sistem glasi

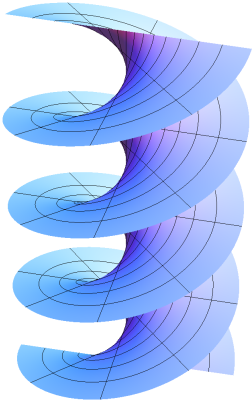
$$x = \rho \cos \varphi \sin \theta, \quad y = \rho \sin \varphi \sin \theta, \quad z = \rho \cos \theta,$$

gdje su prirodne granice novih koordinata

$$0 \leq \rho < +\infty, \quad 0 \leq \varphi \leq 2\pi, \quad 0 \leq \theta \leq \pi.$$

Sada je najudaljenija tačka od sjevernog pola, južni pol i to 180° .

Primjer 3.3 ((Kružni) Helikoid). Ovo je regularna površ, iscrtana



Slika 3.4: Helikoid minimalna površ.

pravom normalnom linijom koja se kreće duž heliksa:

$$(u, v) \mapsto \mathbf{x}(u, v) := (\sinh u \cos v, \sinh u \sin v, c v), \quad c \in \mathbb{R}$$

Površ je regularna jer je za sva $(u, v) \in \mathbb{R}^2$

$$(\mathbf{x}_u \times \mathbf{x}_v)(u, v) = \cosh u (\sin v, -\cos v, \sinh u) \neq 0.$$

Ovo je veoma posebna površ. Kružni helikoid je minimalna površ koja ima kružni heliks kao granicu. Ona je jedina linijska minimalna površ osim ravni, a čak do 1992. godine je bio jedini znani primjer kompletne minimalne embedirane površi konačne topologije sa beskonačnom krivinom, dok nije otkrivena Hoffmannova



Definicija 3.2

Kad je površ data sa $\mathbf{x} = (x, y, z)$ onda se funkcije $x(u, v)$, $y(u, v)$, $z(u, v)$ zovu *koordinatne funkcije* površi.

Definicija 3.3

Reparametrisacija površi $U \ni (u, v) \mapsto \mathbf{x}(u, v) \in \mathbb{R}^3$ je nova parametrizovana površ

$$\tilde{\mathbf{x}}(\tilde{u}, \tilde{v}) = \mathbf{x}(\phi(\tilde{u}, \tilde{v})),$$

gdje je $\phi : \tilde{U} \rightarrow U$ difeomorfizam, vidi Definiciju A.5.

Primjer 3.4. Kružni helikoid, slika 3.4, iz primjera 3.3 očito se može jednostavnije reparametrisirati sa

$$(u, v) \mapsto \mathbf{x}(u, v) := (u \cos v, u \sin v, c v), \quad c \in \mathbb{R}.$$



Primjedba 3.2. Ako je $\tilde{\mathbf{x}}(\tilde{u}, \tilde{v}) = \mathbf{x}(\phi(\tilde{u}, \tilde{v}))$, gdje je $\phi(\tilde{u}, \tilde{v}) = (u(\tilde{u}, \tilde{v}), v(\tilde{u}, \tilde{v}))$, onda je

$$\tilde{\mathbf{x}}_{\tilde{u}} \times \tilde{\mathbf{x}}_{\tilde{v}} = \begin{vmatrix} u_{\tilde{u}} & u_{\tilde{v}} \\ v_{\tilde{u}} & v_{\tilde{v}} \end{vmatrix} (\mathbf{x}_u \times \mathbf{x}_v) \circ \phi.$$

Stoga je reparametrisacija regularne površi regularna.



3.1.1 Implicitna forma površi

Posmatrajmo skup

$$\Sigma := \{(x, y, z) \mid F(x, y, z) = 0\}.$$

Prepostavimo da je $\frac{\partial F}{\partial z}(x, y, z) \neq 0$ za sva $(x, y, z) \in C$. Onda (po teoremi implicitnog preslikavanja A.4) možemo *lokalno* riješiti jednačinu za $z = z(x, y)$, tojest

$$C \cap B = \{(x, y, g(x, y)) \mid (x, y) \in U\}$$

za neke okoline $B \subset \mathbb{R}^3$ od (x, y, z) i $U \subset \mathbb{R}^2$.

Generalnije, Σ definiše regularnu površ ako, za sva $(x, y, z) \in \Sigma$,

$$\nabla F(x, y, z) \neq 0.$$

Primjer 3.5 (Ravan). Jednačina ravni kroz tri nekolinearne tačke $P_0, P_1, P_2 \in \mathbb{R}^3$:

$$\{P(x, y, z) \mid (P - P_0) \cdot (P_1 - P_0) \times (P_2 - P_0) = 0\}.$$



Primjer 3.6 (Sfera). Jedinična sfera, slika 3.2,

$$\{(x, y, z) \mid x^2 + y^2 + z^2 = 1\}$$

je regularna površ: sa $F(x, y, z) = x^2 + y^2 + z^2 - 1$

$$\|\nabla F(x, y, z)\|^2 = \|2(x, y, z)\|^2 = 4(x^2 + y^2 + z^2) = -4 \neq 0.$$



Primjer 3.7 (Jednokrilni hiperboloid). Regularna parametrizacija od

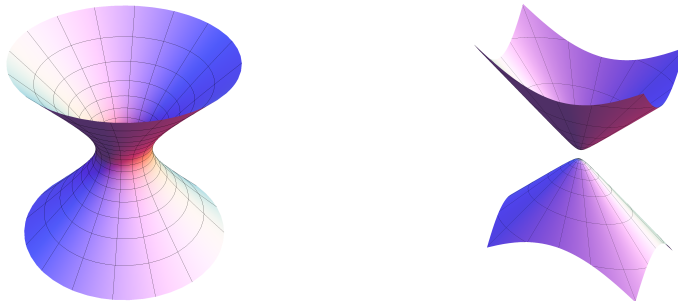
$$\{(x, y, z) \mid \left(\frac{x}{a}\right)^2 + \left(\frac{y}{b}\right)^2 - \left(\frac{z}{c}\right)^2 = 1\}$$

je data sa

$$(u, v) \mapsto (a \cosh u \cos v, b \cosh u \sin v, c \sinh u).$$

Vidi sliku 3.5 lijevo.





Slika 3.5: Jednokrilni i dvokrilni hiperboloid

Primjer 3.8 (Dvokrilni hiperboloid). Kako bismo pokrili dvostrani hiperboloid, trebamo dvije (regularne) parametrizacije jer

$$\{(x, y, z) \mid \left(\frac{x}{a}\right)^2 + \left(\frac{y}{b}\right)^2 - \left(\frac{z}{c}\right)^2 = -1\}$$

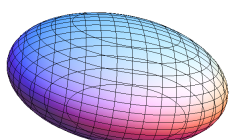
ima dvije konektovane komponente:

$$(u, v) \mapsto (a \sinh u \cos v, b \sinh u \sin v, \pm c \cosh u).$$

Vidi sliku 3.5 desno.



Primjer 3.9 (Elipsoid). Iako je elipsoid



$$\{(x, y, z) \mid \left(\frac{x}{a}\right)^2 + \left(\frac{y}{b}\right)^2 + \left(\frac{z}{c}\right)^2 = 1\}$$

konektovan, nema (kao u slučaju sfere) *globalne* regularne parametrizacije (iz istog razloga); trebamo neko-

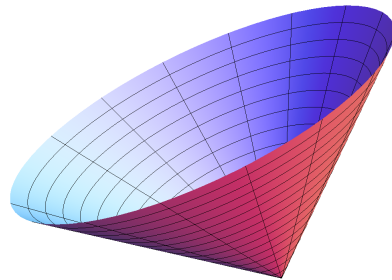
Sl. 3.6: Elipsoid liko regularnih parametrizacija kako bismo pokrili elipsoid (vidi vježbu 3.5).
☆

Primjer 3.10 (Eliptična kupa). Ova površ je parameterizovana sa

$$\{(x, y, z) \mid \left(\frac{x}{a}\right)^2 + \left(\frac{y}{b}\right)^2 = \left(\frac{z}{c}\right)^2\}$$

i ima singularnost u vrhu kupe; stoga eliptična kupa nije regularna površ ali nam slijedeća parametrizacija

$$(u, v) \mapsto (a u \cos v, b u \sin v, c u).$$



Sl. 3.7: Eliptična kupa daje regularnost. Kupa je prastara površ - to je druga površ o kojoj priča Euklid. Euclidovi Elementi, knjiga 11, definicije 18-20 kažu:

18. Ako jedan krak pravog ugla (jedna kateta) pravouglog trougla ostaje nepokretan, a trougao se oko te prave obrće i vrati u položaj iz kojeg je poceo kretanje, obuhvacena figura je konus (kupa). Ako je nepokretan krak pravog ugla jednak drugom kraku tog ugla, koji se obrće, konus je pravougli, ako je manji - tupougli, a ako je veci - oštougli.
19. Osa je konusa nepokretna prava oko koje se trougao obrće.
20. Osnova je konusa krug koji opisuje pokretna duž.



Primjer 3.11 (Površ revolucije). Ako je $t \mapsto \alpha(t)$, $\alpha(t) = (x(t), y(t))$

regularna kriva u \mathbb{R}^2 i neka je bez gubitka općenitosti $x(t) \neq 0$, onda se jednačina površi revolucije $\mathbf{x}(u, v)$ dobija rotacijom krive $\alpha(t)$ oko z -ose. Njena parametrizacija je data sa

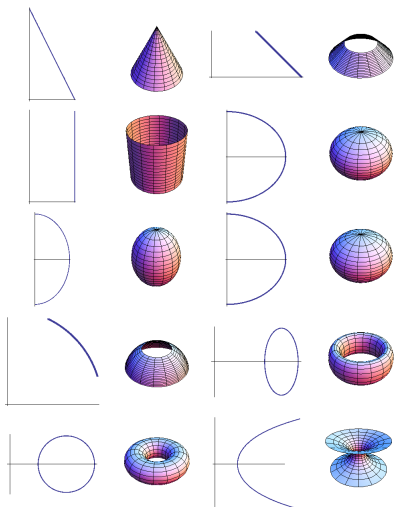
$$\mathbf{x}(u, v) = (x(u) \cos v, x(u) \sin v, y(u)).$$

Sa obzirom da je

$$\|\mathbf{x}_u \times \mathbf{x}_v\| = x \sqrt{x'^2 + y'^2} \neq 0,$$

imamo da je površ revolucije regularna površ.

Mnoge standardne površi su površi revolucije, vidi sliku 3.8.



Sl. 3.8: Površi revolucije

Vježbe

Vježba 3.1. Pokažite da $\mathbb{R}^2 \ni (u, v) \mapsto \mathbf{x}(u, v) = (u, v, g(u, v)) \in \mathbb{R}^3$, nije površ, iako je

$$g(u, v) := \begin{cases} 0 & \text{ako je } u = v = 0 \\ \frac{uv^2}{u^2+v^2} & \text{ako je } (u, v) \neq (0, 0), \end{cases}$$

neprekidna i svi su joj parcijalni izvodi definisani.

Vježba 3.2. Pokažite da $\mathbb{R}^2 \ni (u, v) \mapsto \mathbf{x}(u, v) = (u, v, g(u, v)) \in \mathbb{R}^3$, nije površ, iako je

$$g(u, v) := \begin{cases} 0 & \text{ako je } u = v = 0 \\ \frac{uv^2\sqrt{u^2+v^2}}{u^2+v^4} & \text{ako je } (u, v) \neq (0, 0), \end{cases}$$

neprekidna i svi su joj izvodi u pravcu definisani.

Vježba 3.3. Neka je data implicitna površ $\Sigma := \{(x, y, z) \mid F(x, y, z) = 0\}$ i prepostavimo da je Σ regularna površ. Pokažite da je $\mathbf{n} = \frac{\nabla F}{|\nabla F|}$ jedinično normalno vektorsko polje na Σ .

Vježba 3.4. (a) Pokažite da je hiperbolični paraboloid

$$\Sigma_1 := \left\{ (x, y, z) \mid \frac{z}{c} = \frac{x^2}{a^2} - \frac{y^2}{b^2} \right\}$$

regularna površ i nađite regularnu parametrizaciju.

(b) Pokažite da je eliptični paraboloid

$$\Sigma_2 := \left\{ (x, y, z) \mid \frac{z}{c} = \frac{x^2}{a^2} + \frac{y^2}{b^2} \right\}$$

regularna površ i nađite regularnu parametrizaciju. Zatim ga također parametrizirajte kao površ revolucije u slučaju da je $a = b = c = 1$. Zatim tu parametrizaciju iskoristite za nalaženje opće parametrizacije.

Vježba 3.5. Pokažite da je elipsoid regularna površ i nadite regularne parametrizacije koje ga pokrivaju:

- (a) Koristeći se implicitnim oblikom površi.
- (b) Podešavanjem sfernih koordinata na "elipsoidne".

Vježba 3.6. Posmatrajmo $\Sigma := \{(x, y, z) \mid (\sqrt{x^2 + y^2} - R)^2 + z^2 = r^2\}$, gdje je $0 < r < R$. Pokažite da je Σ regularna površ i nađite njenu regularnu parametrizaciju. Kako se zove ova površ?

- Vježba 3.7.**
- (a) U Wolfram Mathematica, napravite funkciju `regularna[x_,u_,v_]` koja ispituje regularnost parametrizovane krive.
 - (b) Napravite funkciju `regularnaImp[F_,x_,y_,z_]` koja ispituje regularnost implicitno zadate krive.
 - (c) Napravite funkciju `povrsRevolucije[alpha_,u_,v_]` koja vraća parametrizovanu površ revolucije kreiranu od krive $\alpha(t)$ rotirane oko z ose.

3.2 Krive na površima

U punoj verziji teksta.

3.3 Prva fundamentalna forma

U punoj verziji teksta.

3.3.1 Normala, tangentna ravan

U punoj verziji teksta.

3.3.2 Gaussovo preslikavanje

U punoj verziji teksta.

Vježbe

Vježba 3.8. Dokažite da je ugao presjeka parametarskih linija na proizvoljnoj površi

$$\cos \theta = \frac{F}{\sqrt{EG}}, \quad \sin \theta = \frac{\sqrt{EG - F^2}}{\sqrt{EG}}.$$

Vježba 3.9. Izračunajte prvu fundamentalnu formu, Gaussovo preslikavanje i tangentnu ravan za površ $(u, v) \mapsto \mathbf{x}(u, v)$ datu sa

$$\mathbf{x}(u, v) = \left(\frac{\cos v}{\cosh u}, \frac{\sin v}{\cosh u}, \tanh u \right).$$

Kakva je ovo parametrizacija? Koja je ovo površ?

Vježba 3.10. Pokažite da je kupa $(r, \theta) \mapsto r \gamma(\theta)$, gdje je $\theta \mapsto \gamma(\theta) \in S^2$ dužinom luka parametrizovana sferična kriva, izometrična ravni.

Pokažite da je $\Sigma = \{(x, y, z) \mid x^2 + y^2 = z^2, z > 0\}$ izometrična ravni.

Vježba 3.11. Izračunajte Gaussovo preslikavanje i tangentnu ravan u proizvoljnoj tački svih do sada predstavljenih parametrizovanih površi.

Vježba 3.12. Potvrdite da je inverzna stereografska projekcija sfere također konformalna parametrizacija.

Vježba 3.13. (a) Napravite u Wolfram Mathematica animaciju koja pokazuje da Gaussovo preslikavanje mijenja smjer kada jednom obidemo Möbiusovu traku.

- (b) Napravite funkciju `tangentnaRavan[x_,u_,v_,u0_,v0_]` koja računa tangentnu ravan površi $\mathbf{x}(u, v)$ u tački $\mathbf{x}(u_0, v_0)$.
- (c) Napravite funkciju `gaussovo[x_,u_,v_]` koja računa Gaussovo preslikavanje date površi.
- (d) Napravite funkciju `pff[x_,u_,v_]` koja računa prvu fundamentalnu formu date površi i vraća je kao listu $\{E, F, G\}$.

3.4 Linijske i razvojne površi

U punoj verziji teksta.

Vježbe

Vježba 3.14. Pokažite da je jednokrilni hiperboloid $\Sigma = \{(x, y, z) \mid x^2 + y^2 = 1 + z^2\}$ linijska površ te ispitajte kako se njegovo Gaussovo preslikavanje mijenja duž pravih linija na Σ .

Vježba 3.15. Neka je $s \mapsto \gamma(s)$ dužinom luka parametrizovana kriva sa $\kappa \neq 0$.

- (a) Izračunajte prvu fundamentalnu formu odgovarajuće tangentne razvojne površi.
- (b) Nađite ortogonalnu ($F \equiv 0$) reparametrizaciju površi (kao razvojne površi).

Vježba 3.16. Neka je $(u, v) \mapsto \mathbf{x}(u, v) = \gamma(u) + v \eta(u)$ razvojna površ. Pokažite da je $v \mapsto \mathbf{n}(u, v)$ paralelno normalno polje duž $v \mapsto \mathbf{x}(u, v)$.

Vježba 3.17. Neka je $(u, v) \mapsto \mathbf{x}(u, v) = \gamma(u) + v \eta(u)$ linijska površ. Pokažite da su linije $v \mapsto \mathbf{x}(u, v)$ (u fiksno), asimptotske linije.

3.5 Druga fundamentalna forma

U punoj verziji teksta.

Vježbe

Vježba 3.18. Izračunajte druge fundamentalne forme sfere, helikoida i jednokrilnog hiperboloida.

- Vježba 3.19.**
- (a) Napravite u Wolfram Mathematica animacije koje pokazuju da su kupa, hiperboloid, kružni helikoid linijske površi.
 - (b) Napravite funkciju `dff[x_,u_,v_]` koja računa prvu fundamentalnu formu date površi i vraća je kao listu `{e,f,g}`.

3.5.1 Meusnierova teorma

U punoj verziji teksta.

Teorem 3.4: Meusnier

Oskulatorne kružnice presječnih krivih površi Σ i ravni koja sadrži datu ne-asimptotski tangentni pravac površi Σ u $(x, y, z) \in \Sigma$ su sadržani na sferi koja dotiče Σ u (x, y, z) .

Dokaz : Fiksirajmo tangentni pravac T u tački $(x, y, z) \in \Sigma$, to jest $T \perp \mathbf{n}(x, y, z)$, gdje $\mathbf{n}(x, y, z)$ označava jedinični normalni vektor u (x, y, z) . Neka je κ_n normalna krivina pravca T ; jer za T prepostavljamo da je ne-asimptotski pravac imamo $\kappa_n \neq 0$ i možemo posmatrati "radijus krivine" $R_n = \frac{1}{\kappa_n}$ (bez gubitka generalnosti možemo prepostaviti da je $R_n > 0$ nakon što moguće zamjenimo $\mathbf{n}(x, y, z)$ sa $-\mathbf{n}(x, y, z)$). Neka je $c_n := (x, y, z) + R_n \mathbf{n}(x, y, z)$.

Sada, fiksirajmo jedinični vektor $N \perp T$, koji nije tangentni vektor ($N \neq \mathbf{n}(x, y, z)$), i posmatrajmo krivu presjeka ravni

$$\mathcal{E} := \{(x, y, z) + \lambda T + \mu N \mid \lambda, \mu \in \mathbb{R}\}$$

sa Σ . Prepostavićemo da je N izabrana tako da $\cos \varphi := N \cdot \mathbf{n}(x, y, z) > 0$. Jer je $\kappa = \frac{1}{\cos \varphi} \kappa_n$ dobivamo radijus i centar oskulatorne kružnice presječne krive:

$$R = \cos \varphi R_n \quad \text{i} \quad c = (x, y, z) + R N.$$

Stoga oskulatorna kružnica može biti parametrizovana sa

$$t \mapsto \alpha(t) = c + R \{\cos t T + \sin t N\};$$

onda

$$\begin{aligned} |\alpha(t) - c_n|^2 &= |R \cos t T + R(1 + \sin t) N + R_n \mathbf{n}(x, y, z)|^2 \\ &= 2R(R - R_n \cos \varphi)(1 + \sin t) + R_n^2 \\ &= R_n^2 \end{aligned}$$

što pokazuje da je oskulatorna kružnica na sferi sa centrom c_n i radiusom R_n ; primjetite da ova sfera dotiče Σ u (x, y, z) jer je (x, y, z) na njoj i ima istu normalu $\mathbf{n}(x, y, z)$ kao površ u ovoj tački, tako da se tangentne ravni površi i sfere podudaraju. \triangle

3.6 Weingartenov tenzor

U punoj verziji teksta.

3.6.1 Krivine na površi

U punoj verziji teksta.

Vježbe

Vježba 3.20. Izračunajte Gaussovou krivinu razvojne površi.

Vježba 3.21. Izračunajte Gaussovou, srednju i principalne krivine sfere, helikoida i jednokrilnog hiperboloida.

Vježba 3.22. Neka je $(u, v) \mapsto \sigma(u, v)$ regularna parametrizovana površ.

- (a) Dokažite da su $\mathbf{n}(u, v)$ i $\mathbf{n}_u \times \mathbf{n}_v(u, v)$ međusobno paralelni vektori za sva u, v .
- (b) Izračunajte $(\mathbf{n}_u \times \mathbf{n}_v) \cdot \mathbf{n}$ i zaključite da je

$$\mathbf{n}_u \times \mathbf{n}_v = K \sigma_u \times \sigma_v$$

- (c) Neka nam je sada data nova površ: $(u, v) \mapsto \rho(u, v) + a\mathbf{n}(u, v)$, $a \in \mathbb{R}$. Dokažite da su $\mathbf{n}(u, v)$ i $\rho_u \times \rho_v(u, v)$ međusobno paralelni vektori za sva u, v . Dokažite da je

$$\rho_u \times \rho_v = (1 - 2H a + K a^2) \sigma_u \times \sigma_v$$

Vježba 3.23. Pretpostavimo da površ bez umbiličnih tačaka $(u, v) \mapsto \mathbf{x}(u, v)$ ima konstantnu srednju krivinu $H \neq 0$.

Dokažite da površ $(u, v) \mapsto \mathbf{x}^*(u, v) := \mathbf{x}(u, v) + \frac{1}{H}\mathbf{n}(u, v)$ ima konformalno ekvivalentnu metriku $I^* = \frac{H^2 - K}{H^2} I$ i konstantnu srednju krivinu $H^* = H$.

3.7 Eulerov teorem

U punoj verziji teksta.

Vježbe

Vježba 3.24. Dokažite Eulerov teorem, odnosno ‘popunite praznine’ dokaza iznad.

Vježba 3.25. 1. Koristeći se već izračunatim fundamentalnim formama sa prethodnih vježbi, odredite površi i tačke na tim površima koje su eliptične, hiperbolične i parabolične.

- (c) Demonstrirajte kako se priroda tih tačaka ogleda u presjeku tangentnih ravnih sa površi, koristeći se Wolfram Mathematicom.

3.8 Minimalne površi

U punoj verziji teksta.

Vježbe

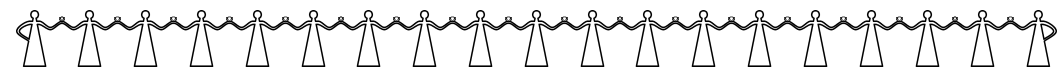
Vježba 3.26. Pokažite da je helikoid minimalna površ i odredite njegove asimptotske linije i linije krivine.

Vježba 3.27. Pokažite da je *Enneperova površ* $(u, v) \mapsto (u^3 - 3u(1 + v^2), v^3 - 3v(1 + u^2), 3(u^2 - v^2))$ konformalno parametrizovana minimalna površ.

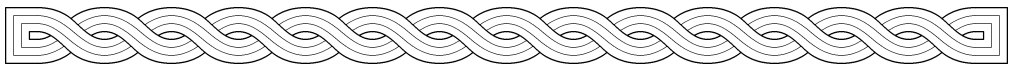
Vježba 3.28. Neka je $(u, v) \mapsto \mathbf{x}(u, v)$ konformalno parametrizovana minimalna površ. Pokažite da se njena druga fundamentalna forma može napisati kao $\mathbb{II} = \operatorname{Re} \{(e - if)(du + idv)^2\}$ i da je $(e^\alpha - if^\alpha) = e^{i\alpha}(e - if)$ za površi \mathbf{x}^α asocijativne porodice od \mathbf{x} .

Zaključite da asimptotske linije i linije krivine površi \mathbf{x} postaju asimptotske linije i linije krivine površi \mathbf{x}^* , respektivno.

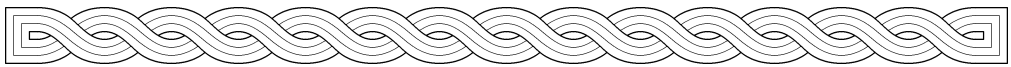
Vježba 3.29. Pokažite da je površ revolucije krive $t \mapsto \cosh t$ (katenoida) minimalna.



POGLAVLJE 4



Fundamentalne jednačine površi



4.1 Kovarijantni izvod i jednačine Gauss – Weingartena	39
4.2 Gaussova Theorema egregium i jednačine Codazzija	42
4.2.1 Primjene jednačina Gaussa i Codazzija	43
4.2.2 Totalno umbilične površi	43
4.3 Fundamentalna teorema teorije površi	43

Ovo poglavlje ima dvostruku svrhu. Prvo, uvest ćemo pojam “kovarijantnog izvoda” ili “Levi-Civita konekcije” i vidjet ćemo da ona samo zavisi o prvoj fundamentalnoj formi površi; drugo, postavit ćemo scenu za formulaciju Gauss-Codazzijevih jednačina u jednoj od sljedećih sekcija, tako što ćemo zapisati strukturne jednačine za (ne-ortonormirani) okvir površi.

4.1 Kovarijantni izvod i jednačine Gauss – Weingartena

U ovom poglavlju radi kratkoće koristit ćemo “tenzorsku notaciju”, koja se na prvi pogled može činiti komplikacijom. Međutim, vrlo brzo ćemo se uvjeriti u njezine prednosti.

Notacija

Parcijalne izvode označavat ćemo sa

$$\partial_1 = \frac{\partial}{\partial u} \quad \text{i} \quad \partial_2 = \frac{\partial}{\partial v},$$

a fundamentalne forme sa

$$I = \begin{pmatrix} g_{11} & g_{12} \\ g_{21} & g_{22} \end{pmatrix} \quad \text{i} \quad II = \begin{pmatrix} h_{11} & h_{12} \\ h_{21} & h_{22} \end{pmatrix}.$$

Osnovna ideja je da formulišemo strukturne jednačine za okvir $F = (\mathbf{x}_u, \mathbf{x}_v, \mathbf{n})$: kako sada imamo dvodimenzionalnu domenu ovi imaju slijedeći oblik

$$F_u = F \Phi \quad \text{i} \quad F_v = F \Psi$$

sa dvije funkcije sa matričnim vrijednostima Φ i Ψ . Mi nećemo, međutim, koristiti ovaj formalizam.

Definicija 4.1: Kovarijantni izvod

Neka je $(u, v) \mapsto \xi(u, v)$ tangencijalno vektorsko polje duž parametri-zovane površi $(u, v) \mapsto \mathbf{x}(u, v)$; *kovarijantni izvod* tog polja u (u, v) u pravcu (λ, μ) je

$$(\nabla_{(\lambda, \mu)} \xi)|_{(u, v)} := \{(\lambda \xi_u + \mu \xi_v) - ((\lambda \xi_u + \mu \xi_v) \cdot \mathbf{n}) \mathbf{n}\}(u, v).$$

∇ se također zove *Levi-Civita konekcija*.

Koeficijenti Γ_{ij}^k u

$$\nabla_j(\partial_i \mathbf{x}) := \partial_j \partial_i \mathbf{x} - (\partial_j \partial_i \mathbf{x} \cdot \mathbf{n}) \mathbf{n} = \sum_k \Gamma_{ij}^k \partial_k \mathbf{x}$$

se zovu *Christoffelovi simboli*.

Imamo da je

$$\begin{aligned} \nabla_{(1,0)} \mathbf{x}_u &=: \Gamma_{11}^2 \mathbf{x}_u + \Gamma_{11}^2 \mathbf{x}_v, & \nabla_{(0,1)} \mathbf{x}_u &=: \Gamma_{12}^2 \mathbf{x}_u + \Gamma_{12}^2 \mathbf{x}_v; \\ \nabla_{(1,0)} \mathbf{x}_v &=: \Gamma_{21}^2 \mathbf{x}_u + \Gamma_{21}^2 \mathbf{x}_v, & \nabla_{(0,1)} \mathbf{x}_v &=: \Gamma_{22}^2 \mathbf{x}_u + \Gamma_{22}^2 \mathbf{x}_v. \end{aligned}$$

Lema 4.2

Christoffelovi simboli su simetrični, odnosno

$$\Gamma_{ij}^k = \Gamma_{ji}^k.$$

Dokaz : $\partial_2 \partial_1 \mathbf{x} = \mathbf{x}_{uv} = \mathbf{x}_{vu} = \partial_1 \partial_2 \mathbf{x}$. □

Primjedba 4.1. Sada možemo formulisati strukturne jednačine za (ne-ortonormirani) adaptirani okvir $(u, v) \mapsto F(u, v) := (\mathbf{x}_u, \mathbf{x}_v, \mathbf{n})(u, v)$:

$$\partial_j \partial_i \mathbf{x} = \sum_k \Gamma_{ij}^k \partial_k \mathbf{x} + h_{ij} \mathbf{n}$$

ili ekvivalentno,

$$\mathbf{x}_{uu} = \Gamma_{11}^1 \mathbf{x}_u + \Gamma_{11}^2 \mathbf{x}_v + e \mathbf{n} \quad (4.1)$$

$$\mathbf{x}_{uv} = \Gamma_{12}^1 \mathbf{x}_u + \Gamma_{12}^2 \mathbf{x}_v + f \mathbf{n} \quad (4.2)$$

$$\mathbf{x}_{vv} = \Gamma_{22}^1 \mathbf{x}_u + \Gamma_{22}^2 \mathbf{x}_v + g \mathbf{n} \quad (4.3)$$

i drugo (što dobijamo iz $d_{(u,v)} \mathbf{n} = -d_{(u,v)} \mathbf{x} \circ \mathbf{S}|_{(u,v)}$)

$$\partial_i \mathbf{n} = - \sum_{k,l} s_{ki} \partial_k \mathbf{x},$$

gdje su $s_{ki} = \sum_l g^{kl} h_{li}$ koeficijenti \mathbf{S} , ili ekvivalentno,

$$\begin{aligned} \mathbf{n}_u &= -\frac{1}{EG - F^2} \{(Ge - Ff) \mathbf{x}_u + (Ef - Fe) \mathbf{x}_v\} \\ \mathbf{n}_v &= -\frac{1}{EG - F^2} \{(Gf - Fg) \mathbf{x}_u + (Eg - Ff) \mathbf{x}_v\} \end{aligned}$$

Ovo skupa čini “*jednačine Gauss-Weingartena*”. ☆

Primjer 4.1. Želimo izračunati eksplisitne formule za Christoffelove simbole Γ_{ij}^k koristeći se koeficijentima prve fundamentalne forme.

Koristeći se strukturalnim jednačinama (4.1), (4.2), (4.3), te uzimajući skalarni proizvod svake jednačine sa x_u i x_v , dobivamo

$$\begin{aligned} \Gamma_{11}^1 E + \Gamma_{11}^2 F &= \frac{1}{2} E_u, & \Gamma_{11}^1 F + \Gamma_{11}^2 G &= F_u - \frac{1}{2} E_v, \\ \Gamma_{12}^1 E + \Gamma_{12}^2 F &= \frac{1}{2} E_u, & \Gamma_{12}^1 F + \Gamma_{12}^2 G &= \frac{1}{2} G_u, \\ \Gamma_{22}^1 E + \Gamma_{22}^2 F &= F_v - \frac{1}{2} G_u, & \Gamma_{22}^1 F + \Gamma_{22}^2 G &= \frac{1}{2} G_v. \end{aligned}$$

Rješavajući ovaj sistem u parovima, dobijamo

$$\begin{aligned}\Gamma_{11}^1 &= \frac{GE_u - 2FF_u + FE_v}{2(EG - F^2)}, & \Gamma_{11}^2 &= \frac{2EF_u - EE_v - FE_u}{2(EG - F^2)}, \\ \Gamma_{12}^1 &= \frac{GE_v - FG_u}{2(EG - F^2)}, & \Gamma_{12}^2 &= \frac{EG_u - FE_v}{2(EG - F^2)}, \\ \Gamma_{22}^1 &= \frac{2GF_v - GG_u - FG_v}{2(EG - F^2)}, & \Gamma_{22}^2 &= \frac{EG_v - 2FF_v + FG_u}{2(EG - F^2)}.\end{aligned}$$



Lema 4.3: Koszul

$$\sum_m g_{km} \Gamma_{ij}^m = \frac{1}{2} \{ \partial_i g_{jk} + \partial_j g_{ik} - \partial_k g_{ij} \}.$$

Dokaz : Računamo s desna na lijevo:

$$\partial_i g_{jk} + \partial_j g_{ik} - \partial_k g_{ij} = 2\partial_k \mathbf{x} \cdot \partial_j \partial_i \mathbf{x} = 2 \sum_m g_{km} \Gamma_{ij}^m,$$

što nam daje rezultat. \triangleleft

Kako je I pozitivno definitna, Koszulov identitet može biti riješen za Γ_{ij}^m i dobijamo:

Posljedica 4.4

Kovarijantni izvod ∇ samo zavisi o I.

Posljedica 4.5

Christofellovi simboli mogu se napisati kao

$$\Gamma_{ij}^m = \frac{1}{2} \sum_k g^{km} (\partial_j g_{ik} + \partial_i g_{jk} - \partial_k g_{ij}).$$

4.2 Gaussova Theorema egregium i jednačine Codazzija

U punoj verziji teksta.

4.2.1 Primjene jednačina Gaussa i Codazzija

U punoj verziji teksta.

4.2.2 Totalno umbilične površi

U punoj verziji teksta.

4.3 Fundamentalna teorema teorije površi

U punoj verziji teksta.

Vježbe

Vježba 4.1. Dokazati posljedicu s predavanja :

$$\Gamma_{ij}^m = \frac{1}{2} \sum_k g^{km} (\partial_j g_{ik} + \partial_i g_{jk} - \partial_k g_{ij}).$$

Vježba 4.2. Izračunati Christoffelove simbole za sferu, helikoid i jednokrilni hiperboloid.

Vježba 4.3. Napraviti funkciju `Christoffel[x_,u_,v_]` u Wolfram Mathematici.

Vježba 4.4. Neka je $(u, v) \mapsto \mathbf{x}(u, v)$ parametrizacija linijom krivine površi sa konstantnom Gaussovom krivinom $K \equiv -1$ tako da, bez gubitka općenitosti, $\kappa_1 = \tan \varphi$ i $\kappa_2 = -\cot \varphi$ sa odgovarajućom funkcijom φ .

Pokažite da postoji reparametrizacija linijom krivine, $u = u(\tilde{u})$ i $v = v(\tilde{v})$, tako da

$$\tilde{\mathbf{I}} = \cos^2 \varphi d\tilde{u}^2 + \sin^2 \varphi d\tilde{v}^2 \quad \text{i} \quad \tilde{\mathbf{II}} = \frac{1}{2} \sin 2\varphi (du^2 - dv^2).$$

(Pomoć: pokažite da je $(\frac{E}{\cos^2 \varphi})_v = (\frac{G}{\sin^2 \varphi})_u = 0$ iz Codazzijevih jednačina.)

Vježba 4.5. Neka je $(u, v) \mapsto \mathbf{x}(u, v)$ parametrizacija linijom krivine minimalne površi. Pokažite da $E^2 K \equiv \text{const}$ i zaključite da $\ln E$ mora zadovoljavati Liouvilleovu jednačinu

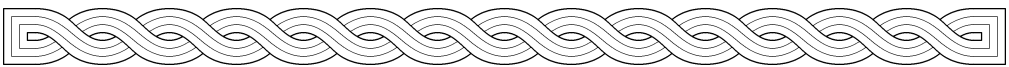
$$\Delta \ln E = \text{const } e^{-\ln E}.$$

Vježba 4.6. Pokažite da je Gaussova krivina površi invarijantna pod reparamterizacijom i zaključite da Gaussova krivina nestaje ako je površ (lokalno) izometrična ravni, to jest prima izometričnu parametrizaciju.





Geometrija na površi



5.1 Geodezije	46
--------------------------------	-----------

Prisjetimo se da je geodezijska krivina κ_g dužinom luka parametrizovane krive $s \mapsto \gamma(s) = \mathbf{x}(u(s), v(s))$ definisana sa

$$\kappa_g := T' \cdot (N \times T) = |N, T, T'|,$$

gdje je $N(s) = \mathbf{n}(u(s), v(s))$ površinska normala koju posmatramo kao jedinično normalno vektorsko polje duž krive γ .

Kao kod normalne krivine tražimo analitičku reprezentaciju:

$$\begin{aligned} \kappa_g &= |N, \gamma', \gamma''| = |\mathbf{n}, \mathbf{x}_u u' + \mathbf{x}_v v', \mathbf{x}_u u'' + \mathbf{x}_v v'' + \mathbf{x}_{uu} u'^2 + 2\mathbf{x}_{uv} u' v' + \mathbf{x}_{vv} v'^2| \\ &= |\mathbf{n}, \mathbf{x}_u u' + \mathbf{x}_v v', \mathbf{x}_u u'' + \mathbf{x}_v v''| \\ &\quad + |\mathbf{n}, \mathbf{x}_u u' + \mathbf{x}_v v', \mathbf{x}_{uu} u'^2 + 2\mathbf{x}_{uv} u' v' + \mathbf{x}_{vv} v'^2| \\ &= \sqrt{EG - F^2} \left\{ \left| \begin{matrix} u' & u'' \\ v' & v'' \end{matrix} \right| + \left| \begin{matrix} u' & (\Gamma_{11}^1 u'^2 + 2\Gamma_{12}^1 u' v' + \Gamma_{22}^1 v'^2) \\ v' & (\Gamma_{11}^2 u'^2 + 2\Gamma_{12}^2 u' v' + \Gamma_{22}^2 v'^2) \end{matrix} \right| \right\}. \end{aligned}$$

Iako je ovo vrlo nezgrapan izraz, naučili smo korisnu informaciju, na osnovu rezultata iz prethodnog poglavlja :

Teorem 5.1

Geodezijska krivina κ_g samo zavisi o I.

Primjedba 5.1. Primjetite da je, slično kao u slučaju prostorne krive, geodezijska krivina

$$\kappa_g = \frac{|N, \gamma', \gamma''|}{\|\gamma'\|^3}$$

u odnosu na *bilo koju* parametrizaciju; Sjetite se da je $\|\gamma'\|^2 = Eu'^2 + 2Fu'v' + Gv'^2$. ★

5.1 Geodezije

U punoj verziji teksta.

Vježbe

Vježba 5.1. Neka je površ $(u, v) \mapsto \mathbf{x}(u, v)$ parametrizirana sa $\mathbf{x}(u, v) = (u \cos v, u \sin v, v)$. Pokažite da je kriva $\beta(t) = \mathbf{x}(t, 0)$ geodezija površi \mathbf{x} .

Vježba 5.2. Nadite geodezije na ravni $\mathcal{E} \subset \mathbb{R}^3$.

Vježba 5.3. Neka je $\Sigma \subset \mathbb{R}^3$ cilindar na krivoj u (x, y) -ravni. Dokažite da je geodezija na Σ (opšti) heliks.

Vježba 5.4. Parametrišite $S^2(R) = \{(x, y, z) \mid x^2 + y^2 + z^2 = R^2\}$ pomoću geodezijskih polarnih koordinata oko $P = (0, 0, R)$.

Vježba 5.5. U Mathematici napraviti program koji provjerava da li je kriva geodezija ili ne. Da li možete napraviti program koji nalazi geodezije?



Diferencijalni račun realnih funkcija - predznanje

Definicija A.1

Preslikavanje $f : \mathbb{R}^m \circ \supset U \rightarrow \mathbb{R}^n$ je *diferencijabilno* u tački $p \in U$ ukoliko postoji linearno preslikavanje $d_p f \in \text{Hom}(\mathbb{R}^m, \mathbb{R}^n)$ tako da

$$\lim_{h \rightarrow 0} \frac{f(p + h) - f(p) - d_p f(h)}{|h|} = 0.$$

Definicija A.2

Ako je f diferencijabilna u $p \in U \subset \circ \mathbb{R}^m$, onda je njen izvod

$$d_p f \simeq Jf(p) = \begin{pmatrix} \frac{\partial f_1}{\partial x_1} & \cdots & \frac{\partial f_1}{\partial x_m} \\ \vdots & & \vdots \\ \frac{\partial f_n}{\partial x_1} & \cdots & \frac{\partial f_n}{\partial x_m} \end{pmatrix}.$$

Primjetite da f ne mora biti diferencijabilna u p ako $Jf(p)$ postoji: posmatrajmo

$$f : \mathbb{R}^2 \mapsto \mathbb{R}, (u, v) \mapsto f(u, v) := \begin{cases} \frac{uv^2\sqrt{u^2+v^2}}{u^2+v^4} & \text{for } (u, v) \neq (0, 0) \\ 0 & \text{for } (u, v) = (0, 0) \end{cases}.$$

Ako međutim Jf postoji svuda i neprekidna je, onda je f *neprekidno diferencijabilna* i, konkretno, je diferencijabilna u svakoj tački. Ako je f diferencijabilna u $p \in U \subset \circ \mathbb{R}^m$ onda je njen izvod u pravcu $w \in \mathbb{R}^m$ dat

sa

$$d_p f(w) = Jf(p) \cdot w = \lim_{t \rightarrow 0} \frac{f(p + tw) - f(p)}{t}.$$

Primjetite da postoje funkcije za koje svi izvodi u pravcu postoje u tački, ali koje nisu diferencijabilne u toj tački.

Dogovor. Za potrebe ovoga predmeta mi ćemo prepostaviti da je svaka funkcija diferencijabilna onoliko puta koliko želimo, tj, da je svaka funkcija u C^∞ .

Teorem A.3: Teorem inverznog preslikavanja

Neka je $f : \mathbb{R}^n \circ \supset U \rightarrow \mathbb{R}^n$ neprekidno diferencijabilna i prepostavimo da je $d_p f : \mathbb{R}^n \rightarrow \mathbb{R}^n$ invertibilna matrica u $p \in U$. Onda je f lokalno invertibilna funkcija u okolini p sa neprekidno diferencijabilnim inversom; konkretno, $d_{f(p)}(f^{-1}) = (d_p f)^{-1}$.

Teorem A.4: Teorem implicitnog preslikavanja

Neka je $F : \mathbb{R}^m \times \mathbb{R}^k \circ \supset U \times V \rightarrow \mathbb{R}^k$ neprekidno diferencijabilna i prepostavimo da je \mathbb{R}^k -dio od $d_{(p,q)}F$ invertibilna za $(p, q) \in U \times V$.

Onda skup $F(x, y) \equiv F(p, q)$ možemo napisati kao graf $y = g(x)$ neprekidno diferencijabilne funkcije g .

Definicija A.5

Neka je $f : \mathbb{R}^m \circ \supset U \rightarrow \mathbb{R}^n$ neprekidno diferencijabilna. Onda se f zove:

- *imerzija* ako je $d_p f$ injekcija za sve $p \in U$ (konkretno, $m \leq n$);
- *submerzija* ako je $d_p f$ surjekcija za sve $p \in U$ (konkretno, $m \geq n$);
- *difeomorfizam* ako je $d_p f$ bijekcija za sve $p \in U$ (konkretno, $m = n$).

Obična diferencijalna jednačina (reda n) je jednačina oblika

$$y^{(n)}(x) = f(x, y(x), y'(x), \dots, y^{(n-1)}(x)) \quad (\dagger)$$

za nepoznatu funkciju $y = y(x)$ koja zavisi od realne promjenljive x – ali koja može imati vrijednosti u \mathbb{R}^m .

Svaka takva ODJ može biti drugačije napisana kao (sistem) ODJ reda $n = 1$ tako što uvedemo izvode kao nove funkcije: sa $y_k := y^{(k-1)}$ jednačina (\dagger) je ekvivalentna sistemu

$$\begin{aligned} y'_1(x) &= y_2(x) \\ &\dots \\ y'_{n-1}(x) &= y_n(x) \\ y'_n(x) &= f(x, y_1(x), \dots, y_n(x)) \end{aligned}$$

pa stoga nikad ne moramo misliti o ODJ višeg reda.

Teorem A.6: Picard-Lindelöf

Neka je $\mathbb{R} \times \mathbb{R}^n \setminus \{(x, y) \in I \times U \mid f(x, y) = 0\} \ni (x, y) \mapsto f(x, y) \in \mathbb{R}^n$ neprekidna i Lipschitz neprekidna po y i $(x_0, y_0) \in I \times U$; onda problem početne vrijednosti

$$y'(x) = f(x, y(x)), \quad y(x_0) = y_0 \quad (\star)$$

ima jedinstveno ^a (maksimalno) rješenje na malom intervalu $(x_0 - \varepsilon, x_0 + \varepsilon)$ oko x_0 .

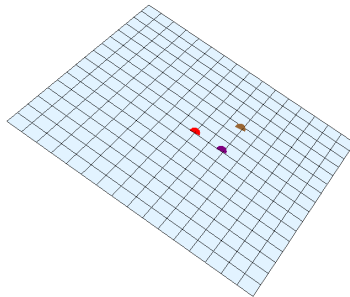
^aNaravno, ograničiti “maksimalno” rješenje na manji interval daje “novo” rješenje. Uporedite ovo sa *Peanovom teoremom* koja samo zahtjeva neprekidnost ali ne daje jedinstvenost (objašnjenje: $y' = \sqrt{|y|}$, $y(0) = 0$).

Posebni slučajevi. Dva posebna slučaja Picard-Lindelöf-ove teoreme će biti od posebnog značaja za nas:

1. ako je $y \mapsto f(y)$ diferencijabilna onda (\star) ima jedinstveno lokalno rješenje;
2. ako je $y \mapsto f(x, y) = A(x)y$ linearna onda (\star) ima jedinstveno globalno (!) rješenje $y : I \rightarrow \mathbb{R}^n$.

Dokaz : Vježba 2.5. □

Potsjetnik iz analitičke geometrije Ravan u koordinatnom prostoru može biti definisana na više načina. Ravan je data u *parametarskoj formi* ukoliko je pretstavljena kao tačka u prostoru koja ima neku linearu funkciju kao parametar ili dvije parametarske varijable (recimo t i s) u svakoj od svojih



Slika A.1: Ravan $x + z + \sqrt{2} = 0$, sa pripadnim tačkama

koordinata. Na primjer, $(1 + t - 5s, s + t, 5 - 7t), t, s \in \mathbb{R}$, je parametarski data ravan u \mathbb{R}^3 .

Koristeći sličan pristup kao kod parametarski datih pravih u \mathbb{R}^3 , ukoliko su nam date 3 tačke na ravni A, B i $C =$, koje nisu kolinearne, prvo definišemo vektore

$$u = (x_b - x_a, y_b - y_a, z_b - z_a) \text{ i } v = (x_c - x_a, y_c - y_a, z_c - z_a)$$

koji idu od A do B i od A do C . Sada će svi vektori oblika $(x_a, y_a, z_a) + t \cdot u + s \cdot v$ za sve vrijednosti parametarskih varijabli t i s ići kroz tačke na ravni koja prolazi kroz tačke A, B, C . Stoga ova ravan ima parametarsku formu:

$$\begin{aligned} x &= x_a + t(x_b - x_a) + s(x_c - x_a), \\ y &= y_a + t(y_b - y_a) + s(y_c - y_a), \\ z &= z_a + t(z_b - z_a) + s(z_c - z_a). \end{aligned}$$

Primjer A.1. Parametarski predstaviti ravan datu na slici A.1:

$$x + z - \sqrt{2} = 0.$$

Uzmimo tri nekolinearne tačke na ravni

$$A\left(\frac{\sqrt{2}}{2}, 0, \frac{\sqrt{2}}{2}\right), B\left(\frac{\sqrt{2}}{2}, 1, \frac{\sqrt{2}}{2}\right), C(0, 0, \sqrt{2}),$$

kako bismo dobili parametrizaciju ravni

$$\begin{aligned} x &= x_a + \tau(x_b - x_a) + \sigma(x_c - x_a) = \frac{\sqrt{2}}{2} - \frac{\sqrt{2}}{2}\sigma, \\ y &= y_a + \tau(y_b - y_a) + \sigma(y_c - y_a) = \tau, \\ z &= z_a + \tau(z_b - z_a) + \sigma(z_c - z_a) = \frac{\sqrt{2}}{2} + \frac{\sqrt{2}}{2}\sigma. \end{aligned}$$



DODATAK B



Dužina luka - predznanje



Ovaj dodatak prati ekspoziciju iz [4].

U punoj verziji teksta.

DODATAK C

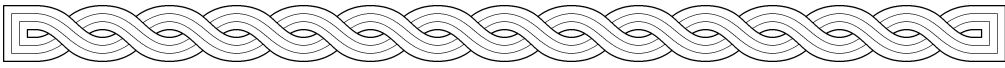


Krivolinijski integral prve vrste - predznanje



Ovaj dio prati ekspoziciju iz [9].

U punoj verziji teksta.



Bibliografija



- [1] Elsa Abbena, Simon Salamon, and Alfred Gray. *Modern differential geometry of curves and surfaces with Mathematica*. CRC press, 2017.
- [2] Elvis Barakovic and Vedad Pasic. *Physical interpretation of pp-waves with axial torsion*, pages 1346–1350. World Scientific, 2017.
- [3] Novica Blažić and Neda Bokan. *Uvod u diferencijalnu geometriju*. Vesta, Zemun i Matematički fakultet, Beograd, 1998.
- [4] Fehim Dedagić. *Matematička analiza, drugi dio*. Univerzitet u Tuzli, 2005.
- [5] Manfredo Perdigao Do Carmo. *Differential geometry of curves and surfaces*, volume 2. Prentice-hall Englewood Cliffs, 1976.
- [6] Samir Karasuljić, Enes Duvnjaković, Vedad Pasic, and Elvis Barakovic. Construction of a global solution for the one dimensional singularly-perturbed boundary value problem. *Journal of Modern Methods in Numerical Mathematics*, 8(1-2):52–65, 2017.
- [7] Wolfgang Kühnel. *Differential Geometry: Curves–Surfaces–Manifolds*, volume 77. American Mathematical Soc., 2015.
- [8] Dobrivoje Mihajlović. *Elementi vektorske analize, diferencijalne geometrije i teorije polja*. Zavod za izdavanje udžbenika, Beograd, 1968.
- [9] Nermin Okičić and Vedad Pašić. *Matematika II - skripta*. Univerzitet u Tuzli, 2014.
- [10] Nermin Okičić, Vedad Pasic, and Fehim Dedagić. Acting conditions of the superposition operator in banach spaces of weighted functions with a discrete argument. *Zbornik radova 4 Filozofski Fakultet*, 4:215–224, 2002.

- [11] Vedad Pasic. *New vacuum solutions for quadratic metric-affine gravity*. PhD thesis, University of Bath, 2009.
- [12] Vedad Pasic. New vacuum solutions for quadratic metric-affine gravity - a metric affine model for the massless neutrino? *Math. Balkanica (N.S.)*, 24(3-4):329–340, 2010.
- [13] Vedad Pašić. *Matematika za ekonomiste*. Univerzitet u Tuzli, 2016.
- [14] Vedad Pašić. *Matematicke metode u fizici*. Univerzitet u Tuzli, 2016.
- [15] Vedad Pašić. *Viša geometrija*. Univerzitet u Tuzli, 2016.
- [16] Vedad Pasic and Elvis Barakovic. PP-waves with torsion: a metric-affine model for the massless neutrino. *Gen. Relativity Gravitation*, 46(10):Art. 1787, 27, 2014.
- [17] Vedad Pasic and Elvis Barakovic. Torsion Wave Solutions in Yang-Mielke Theory of Gravity. *Adv. High Energy Phys.*, 2015(239076):7 pages, 2015.
- [18] Vedad Pasic and Elvis Barakovic. *Axial torsion waves in metric-affine gravity*, pages 1173–1178. World Scientific, 2017.
- [19] Vedad Pasic, Elvis Barakovic, and Nermin Okicic. A new representation of the field equations of quadratic metric-affine gravity. *Adv. Math., Sci. J.*, 3(1):33–46, 2014.
- [20] Vedad Pasic, Enes Duvnjaković, Samir Karasuljić, and Helena Zarin. A uniformly convergent difference scheme on a modified shishkin mesh for the singularly perturbed reaction-diffusion boundary value problem. *J. Mod. Methods Numerical Math.*, 6(1):28–43, 2015.
- [21] Vedad Pasic and Nermin Okičić. Differential equations with periodic coefficients. *Zbornik radova 4 Filozofski Fakultet*, 4:245–254, 2002.
- [22] Vedad Pasic and Dmitri Vassiliev. pp-waves with torsion and metric-affine gravity. *Classical Quantum Gravity*, 22(19):3961–3975, 2005.
- [23] Milan Radojčić. Opšta matematika. *Naučna knjiga, Beograd*, 1950.
- [24] Amra Rekić-Vuković, Nermin Okičić, Vedad Pašić, and Ivan Arandjelović. Continuity of modulus of noncompact convexity for minimalizable measures of noncompactness. *Funct. Anal. Approx. Comput.*, 7(3):39–46, 2015.

Bibliografija

- [25] Ruslan Sharipov. Course of differential geometry. *arXiv preprint math/0412421*, 2004.
- [26] Michael Spivak. *A Comprehensive Introduction to Differential Geometry*, volume 1. Publish or Perish, 1999.
- [27] Rastko Stojanović. *Osnovi diferencijalne geometrije*. Građevinska knjiga, Beograd, 1963.
- [28] Dirk Jan Struik. *Lectures on classical differential geometry*. Dover, New York, 2nd edition, 1988.
- [29] Steven Sy. General helices and other topics in the differential geometry of curves. Master's thesis, Michigan Technological University, 2001.
- [30] Georges Valiron. *The classical differential geometry of curves and surfaces*, volume 15. Math Science Press, 1986.
- [31] Ljubica Velimirović, Predrag Stanimirović, and Milan Zlatanović. *Geometrija krivih i površi uz korišćenje paketa Mathematica*. Univerzitet u Nišu, 2010.
- [32] Blanka Žarinac-Frančula. *Diferencijalna geometrija - Zbirka zadataka i repetitorij*. Školska knjiga, Zagreb, 1990.